



**UNIVERSIDAD POLITÉCNICA SALESIANA**

**SEDE CUENCA**

**CARRERA DE ELECTRÓNICA Y AUTOMATIZACIÓN**

**SISTEMA DE MONITOREO REMOTO DE LA IRRADIANCIA SOLAR GLOBAL CON BASE  
EN PARÁMETROS ELÉCTRICOS DE PANELES FOTOVOLTAICOS**

Trabajo de titulación previo a la obtención del título  
de Ingeniero en Electrónica

**AUTORES: ALEXIS VALENTIN BORJA PALACIOS**

**JUAN SEBASTIÁN TAPIA JARA**

**TUTOR: ING. JOHNNY XAVIER SERRANO GUERRERO, PH.D.**

Cuenca - Ecuador

2024

**CERTIFICADO DE RESPONSABILIDAD Y AUTORÍA DEL TRABAJO  
DE TITULACIÓN**

Nosotros, Alexis Valentin Borja Palacios con documento de identificación N° 0107097768 y Juan Sebastián Tapia Jara con documento de identificación N° 0105183412; manifestamos que:

Somos los autores y responsables del presente trabajo; y, autorizamos a que sin fines de lucro la Universidad Politécnica Salesiana pueda usar, difundir, reproducir o publicar de manera total o parcial el presente trabajo de titulación.

Cuenca, 19 de febrero del 2024

Atentamente,



---

Alexis Valentin Borja Palacios  
0105142780



---

Juan Sebastián Tapia Jara  
0105183412

**CERTIFICADO DE CESIÓN DE DERECHOS DE AUTOR DEL TRABAJO DE  
TITULACIÓN A LA UNIVERSIDAD POLITÉCNICA SALESIANA**

Nosotros, Alexis Valentin Borja Palacios con documento de identificación No. 0107097768 y Juan Sebastián Tapia Jara con documento de identificación No. 0105183412, expresamos nuestra voluntad y por medio del presente documento cedemos a la Universidad Politécnica Salesiana la titularidad sobre los derechos patrimoniales en virtud de que somos autores del Proyecto técnico: “Sistema de monitoreo remoto de la Irradiancia Solar Global con base en parámetros eléctricos de paneles fotovoltaicos”, el cual ha sido desarrollado para optar por el título de: Ingeniero en Electrónica, en la Universidad Politécnica Salesiana, quedando la Universidad facultada para ejercer plenamente los derechos cedidos anteriormente.

En concordancia con lo manifestado, suscribimos este documento en el momento que hacemos la entrega del trabajo final en formato digital a la Biblioteca de la Universidad Politécnica Salesiana.

Cuenca, 19 de febrero del 2024

Atentamente,



---

Alexis Valentin Borja Palacios  
0105142780



---

Juan Sebastián Tapia Jara  
0105183412

## CERTIFICADO DE DIRECCIÓN DEL TRABAJO DE TITULACIÓN

Yo, Johnny Xavier Serrano Guerrero con documento de identificación No. 0151450426, docente de la Universidad Politécnica Salesiana, declaro que bajo mi tutoría fue desarrollado el trabajo de titulación: SISTEMA DE MONITOREO REMOTO DE LA IRRADIANCIA SOLAR GLOBAL CON BASE EN PARÁMETROS ELÉCTRICOS DE PANELES FOTOVOLTAICOS, realizado Alexis Valentin Borja Palacios con documento de identificación N° 0107097768 y por Juan Sebastián Tapia Jara con documento de identificación N° 0105183412, obteniendo como resultado final el trabajo de titulación bajo la opción Proyecto técnico que cumple con todos los requisitos determinados por la Universidad Politécnica Salesiana.

Cuenca, 19 de febrero del 2024

Atentamente,



Firmado electrónicamente por:  
JOHNNY XAVIER  
SERRANO GUERRERO

---

Ing. Johnny Xavier Serrano Guerrero, Ph.D.

0104983382

# AGRADECIMIENTOS

## *Agradecimiento de Alexis Valentín Borja Palacios*

Quiero expresar mi profundo agradecimiento a todas las personas que contribuyeron de manera significativa a la realización de este trabajo de investigación.

En primer lugar, quiero agradecer a mi director de tesis, Ing. Xavier Serrano Guerrero Ph.D, por su orientación experta, su apoyo inquebrantable y su dedicación durante todo el proceso. Sus conocimientos y perspectivas han sido fundamentales para dar forma a este trabajo y alcanzar los objetivos propuestos.

Mi sincero agradecimiento se extiende a mi familia y amigos que me brindaron su aliento, comprensión y apoyo en los momentos difíciles. Su ánimo y motivación fueron un impulso indispensable para llegar hasta el final.

En resumen, estoy profundamente agradecido a todas las personas que han contribuido de alguna manera a este proyecto. Sin su ayuda y apoyo, esta investigación no habría sido posible.

¡Gracias!

## *Agradecimiento de Juan Sebastián Tapia Jara*

Quiero expresar mi más sincero agradecimiento a todas las personas que han contribuido de alguna manera a la realización de este trabajo de investigación. En primer lugar, quiero agradecer a mi director de tesis, Ing. Xavier Serrano Guerrero Ph.D, por su orientación experta, paciencia y apoyo constante a lo largo de este proceso. Su sabiduría y dedicación fueron fundamentales para dar forma a este proyecto y alcanzar los resultados que aquí se presentan.

Así mismo, quiero agradecer a UNIVERSIDAD POLITECNICA SALESIANA por brindarme los recursos y el ambiente propicio para llevar a cabo esta investigación. También quiero expresar mi gratitud a mis amigos que me han brindado su apoyo y ánimo en todo momento.

No puedo pasar por alto el apoyo incondicional de mi familia. A mis padres, Marlene Del Rocio Jara Dominguez, le agradezco por su amor, aliento y comprensión durante todos estos años de estudio. Su sacrificio y dedicación son la fuerza que me impulsa a seguir adelante en la búsqueda del conocimiento.

A todos y cada uno de ustedes, ¡muchas gracias!

# DEDICATORIAS

## *Dedicatoria de Alexis Valentín Borja Palacios*

A mis padres, por su amor incondicional, apoyo constante y sacrificios invaluable. A mi familia, por ser mi fuente de inspiración y mi roca en los momentos difíciles. A mis amigos, por su aliento y alegría que han iluminado este camino. A todos aquellos que han contribuido de alguna manera a este proyecto, su influencia no ha pasado desapercibida. Este trabajo está dedicado a todos ustedes, con profundo agradecimiento y cariño.

## *Dedicatoria de Juan Sebastián Tapia Jara*

Dedico este trabajo a mis padres, cuyo amor incondicional, apoyo constante y sacrificio incansable han sido la fuerza motriz detrás de cada logro en mi vida. A mi familia y amigos, por su aliento inquebrantable y su comprensión durante los momentos difíciles. A mis profesores y mentores, por su guía experta y sus palabras de sabiduría que han iluminado mi camino académico. Este logro es también suyo, y les estoy eternamente agradecido.

# Índice general

AGRADECIMIENTOS .....	II
DEDICATORIAS.....	III
Índice general.....	IV
Índice de figuras.....	VII
Índice de tablas .....	VIII
Índice de ecuaciones .....	IX
INTRODUCCIÓN.....	3
0.1. Antecedentes .....	3
0.2. Justificación.....	4
0.3. Objetivo General.....	5
Capítulo 1.....	7
FUNDAMENTACIÓN TEÓRICA.....	7
1.1. Energía Solar en sistemas fotovoltaicos .....	7
1.2. La radiación solar .....	8
1.2.1. Radiación solar en superficies inclinadas.....	8
1.3. Tipos de Irradiancia Solar .....	9
1.4. Paneles Fotovoltaicos: Fundamentos y Tipos.....	12
1.5. Paneles fotovoltaicos: principios de funcionamiento .....	15
1.5.1. Estructura de la célula fotovoltaica .....	15
1.5.2. Corrientes de la célula fotovoltaica.....	16
1.5.3. Voltajes de la célula fotovoltaica.....	17
1.5.4. Curva característica.....	17

1.5.5. Punto máxima potencia .....	18
1.5.6. Corriente de cortocircuito (ISC) .....	18
1.5.7. Voltaje de circuito abierto (VOC) .....	18
1.5.8. Efectos de las Resistencias en un Panel Fotovoltaico .....	18
1.5.9. La temperatura y su efecto .....	19
1.5.10. La luz, su intensidad y efecto.....	20
1.5.11. Eficiencia de la Célula Fotovoltaica .....	20
1.5.12. Efecto de la Temperatura y la Radiación.....	20
1.6.1 Tecnologías de Comunicación .....	23
1.6.8 Ventajas del Monitoreo Remoto .....	28
<b>Capítulo 2.....</b>	<b>29</b>
2.1. Captura de los parámetros necesarios para el cálculo de la irradiancia solar global .....	29
2.2. Demostración de las ecuaciones para el cálculo del valor de la irradiancia solar global .....	29
2.2.1. Corriente de salida.....	31
2.2.2. Corriente foto generada.....	31
2.2.3. Corriente del diodo.....	32
2.2.4. Densidad corriente de cortocircuito .....	32
2.2.6. Corriente de Saturación del Diodo .....	33
2.2.7. Voltaje del diodo .....	33
2.2.8. Voltaje térmico .....	34
2.2.9. Corriente de pérdida en la resistencia en derivación o en paralelo .....	34
2.2.10. Corriente de Salida (I) medida experimentalmente .....	35
<b>2.2.11. Resistencia en paralelo (Rsh) .....</b>	<b>35</b>
<b>2.2.12. Resistencia en serie (Rs) .....</b>	<b>35</b>
2.3. Obtención de la irradiancia solar global .....	38
2.4. Diseño del sistema de monitoreo .....	41
2.4.1. Instrumentos utilizados para la medición de parámetros del panel fotovoltaico.....	41
2.4.1.1 Sensor de corriente ACS712 .....	41

2.4.1.2 Sensor de temperatura MAX6675.....	41
2.4.1.2 Sensor de voltaje 0-25V .....	42
2.5. Diseño Protección Estructura .....	44
<b>Capítulo 3.....</b>	<b>46</b>
3.1. 1. Comparativa de la Medición de Irradiancia basada en los Parámetros dados por un Panel Solar con respecto a los datos dados por un piranómetro .....	46
<b>Capítulo 4 Conclusiones .....</b>	<b>49</b>
Recomendaciones .....	49
<b>Glosario .....</b>	<b>50</b>
<b>Anexos .....</b>	<b>50</b>
<b>BIBLIOGRAFÍA.....</b>	<b>56</b>

# Índice de figuras

Figura 1 Radiación en superficie inclinada .....	9
Figura 2 Tipos de irradiación .....	11
Figura 3 Partes panel fotovoltaico .....	13
Figura 4 Tipos de paneles fotovoltaicos .....	14
Figura 5 Estructura célula fotovoltaica .....	16
Figura 6 Curva característica .....	17
Figura 7 Variaciones producidas por las resistencias .....	19
Figura 8 Efecto de la temperatura .....	19
Figura 9 Materiales semiconductores .....	21
Figura 10 Unión que se realiza .....	22
Figura 11 Modulo Esp-32 .....	25
Figura 12 Modulo NRF24L01 .....	26
Figura 13 Arquitectura IOT .....	27
Figura 14 Diagrama célula fotovoltaica .....	29
Figura 15 Diagrama panel fotovoltaico .....	30
Figura 16 Conexión células panel .....	36
Figura 17 Sensor de corriente empleado .....	40
Figura 18 Sensor de temperatura empleado .....	41
Figura 19 Sensor de voltaje empleado .....	41
Figura 20 Recopilación de datos .....	42
Figura 21 Esquema final .....	43

# Índice de tablas

Tabla 1 Resultados obtenidos .....	9
Tabla 2 Error de la irradiancia .....	10

# Índice de ecuaciones

Ecuación 1 Diodo ideal .....	22
Ecuación 2 diodo no ideal .....	22
Ecuación 3 resistencia equivalente en serie .....	30
Ecuación 4 resistencia equivalente en paralelo .....	30
Ecuación 5 salida de corriente .....	31
Ecuación 6 corriente fotogenerada .....	31
Ecuación 7 corriente del diodo .....	31
Ecuación 8 Intensidad de corriente cortocircuito .....	32
Ecuación 9 Coeficiente de densidad de corriente .....	32
Ecuación 10 Corriente de saturación .....	33
Ecuación 11 voltaje en el diodo .....	33
Ecuación 12 Voltaje térmico .....	33
Ecuación 13 Corriente resistencia paralelo .....	34
Ecuación 14 Resistencia en paralelo .....	35
Ecuación 15 Resistencia en serie .....	35
Ecuación 16 Corriente salida del panel .....	39
Ecuación 17 Irradiancia panel .....	39

# Resumen

El crecimiento de la sensibilización hacia el medio ambiente y la urgencia de reducir los gases tóxicos ha generado una necesidad rápida de incorporación de energías sustentables, con la energía solar destacándose como una solución clave para abordar las complicaciones energéticas y ambientales del presente siglo. No obstante, la eficiencia de los sistemas fotovoltaicos está fuertemente influenciada por la disponibilidad de irradiación solar adecuada. Aunque los piranómetros son instrumentos cruciales para medir la irradiancia solar, su alto costo puede limitar su disponibilidad en aplicaciones con presupuestos limitados.

Para enfrentar este desafío, se plantea la elaboración de un sistema de monitoreo remoto de la irradiancia solar global basado en parámetros eléctricos de paneles fotovoltaicos. Este sistema aprovecha sensores de voltaje y corriente para medir los parámetros eléctricos de los paneles solares, así como una termocupla para medir la temperatura ambiente. Estos datos se utilizarán en conjunción con un modelo matemático para calcular la irradiancia solar global.

La implementación de este sistema permitirá que el usuario pueda monitorear en tiempo real el desempeño de los sistemas fotovoltaicos, ofreciendo una solución asequible y efectiva para la visualización y supervisión remota de su desempeño. Además, se llevarán a cabo pruebas comparativas con piranómetros de alta calidad para validar la precisión y confiabilidad del sistema propuesto.

En resumen, este proyecto aborda la necesidad crítica de tener a disposición sistemas de monitoreo remoto eficientes y asequibles para optimizar el rendimiento de los sistemas fotovoltaicos, contribuyendo así a la promoción y avance de dichos sistemas para la elaboración de energía solar como un recurso sostenible y viable para el futuro.

**Palabras clave:** Energía solar fotovoltaica, monitoreo remoto, irradiancia solar global, paneles fotovoltaicos, sensores, termocupla, eficiencia energética, sostenibilidad.

# Abstract

The growth of environmental awareness and the urgency to reduce toxic gases has generated rapid growth. In the incorporation of renewable energies, with solar energy standing out as a key solution to address the energy and environmental challenges of this century. However, the effectiveness of photovoltaic systems, the strength of its influence is closely tied to the presence of sufficient solar irradiation. Although pyranometers are crucial instruments for measuring solar irradiance, their high cost may limit their availability in applications with limited budgets.

To face this challenge, the development of a remote monitoring system of global solar irradiance based on electrical parameters of photovoltaic panels is suggested. This system uses current(I) and voltage(v) sensors to measure the electrical parameters of the solar panels, as well as a thermocouple to measure ambient temperature. These data will be used in combination with a mathematical model to calculate global solar irradiance.

The implementation of this system will allow real-time monitoring of the performance of photovoltaic systems, offering an affordable and effective solution for remote visualization and supervision of their performance. Additionally, comparative tests will be carried out with highquality pyranometers to validate the accuracy and reliability of the proposed system.

In summary, this project addresses the critical need to have an efficient and augmented remote monitoring systems provision to optimize the performance of photovoltaic systems, thereby contributing to the promotion and advancement of solar energy systems as a sustainable energy resource. and viable for the future.

**Keywords:** Photovoltaic solar energy, remote monitoring, global solar irradiance, photovoltaic panels, sensors, thermocouple, energy efficiency, sustainability, mathematical model, pyranometers, data visualization.

# INTRODUCCIÓN

## 0.1. Antecedentes

Debido al incremento de conciencia acerca de la importancia de la sostenibilidad medioambiental y la urgencia de disminuir las liberaciones de gases dañinos han motivado un cambio global hacia fuentes de energía renovable y amigable con el medio ambiente y de largo plazo [1]. En este contexto, la energía solar ha tenido una gran popularidad para afrontar los retos energéticos y ambientales del siglo XXI, proporcionando una opción sostenible y en términos económicos factible para la producción de energía. [2]. Esta tendencia está respaldada por el alto consumo energético el cual ha ido aumentando cada vez más en los últimos tiempos, especialmente en áreas urbanas y rurales, impulsada por el crecimiento de dispositivos electrónicos inteligentes que consumen cantidades cada vez mayores de energía eléctrica [3].

La tecnología fotovoltaica ha experimentado un rápido desarrollo y una amplia adopción por la mayoría de las personas y empresas en el mundo, convirtiéndose en una fuente de energía ambiental atractiva debido a su eficiencia y su carácter renovable y respetuoso con el medio ambiente [4]. Aunque inicialmente el costo de adquisición e instalación de esta tecnología puede ser elevado, su creciente eficiencia y la baja de precios en los últimos años, se ha transformado en una alternativa viable y atractiva para una variedad extensa de aplicaciones. [5].

Dentro del ámbito específico de la producción de energía solar, la precisa medición de la irradiancia solar resulta fundamental para evaluar el funcionamiento adecuado en los sistemas fotovoltaicos. [6].

Los piranómetros son dispositivos ampliamente empleados con este fin, ofreciendo mediciones precisas de la radiación solar incidente que tiene como unidad el vatio por metro cuadrado ( $W/m^2$ ). [7]. Estos dispositivos son críticos para asegurar que el sistema opere en condiciones óptimas, ya que permiten monitorear la cantidad de energía generada y realizar ajustes o correcciones según sea necesario [8].

Sin embargo, los piranómetros de alta calidad suelen conllevar costos significativos, lo que puede limitar su disponibilidad en aplicaciones con presupuestos limitados. Para abordar esta problemática, resulta crucial desarrollar alternativas más asequibles para la medición de la irradiación solar, particularmente en entornos donde este tipo de energía en la producción de energía eléctrica desempeña un papel crucial. [10].

El proyecto actual plantea la elaboración de un sistema para que el usuario pueda realizar un monitoreo remoto de la irradiancia solar global basado en parámetros eléctricos de paneles fotovoltaicos. Al integrar sensores para la recolección de datos de voltaje y corriente en los paneles fotovoltaicos, junto con una termocupla para medir la temperatura, se busca obtener mediciones precisas de la irradiancia solar y desarrollar un modelo matemático para calcularla [11].

Este sistema permitirá no solo monitorear el rendimiento de los paneles fotovoltaicos de forma remota, sino también identificar posibles fallos operativos y optimizar su funcionamiento para que no exista fallas y que se alcance la máxima cantidad de energía generada posible. Además, al proporcionar una alternativa más asequible a los piranómetros tradicionales, este proyecto tiene el potencial de extender el acceso a la tecnología solar en áreas con recursos limitados y fomentar su implementación a nivel mundial.

## **0.2. Justificación**

El cambio ha mejor hacia fuentes de energía renovable, particularmente la energía solar, ha mostrado un progreso muy notable en las últimas décadas, en respuesta al creciente reconocimiento y conciencia de la importancia de la sostenibilidad y la reducción del impacto del cambio climático. Este cambio de paradigma energético se ha visto facilitado por avances tecnológicos, políticas gubernamentales favorables y una mayor accesibilidad a las soluciones fotovoltaicas [12] [13].

Uno de los principales desafíos en la aplicación de sistemas fotovoltaicos es la necesidad de monitoreo constante de la irradiancia solar, que es esencial para evaluar la producción de energía y detectar posibles fallos operativos. Tradicionalmente, esta medición se ha realizado mediante piranómetros, dispositivos especializados que pueden resultar costosos y poco accesibles, especialmente para aplicaciones con presupuestos limitados

[3]. Sin embargo, el avance tecnológico ha proporcionado alternativas más asequibles y efectivas para el monitoreo de la irradiancia solar, como los sistemas de medición basados en sensores de voltaje y corriente, así como termocuplas para la medición de la temperatura ambiente [14].

La implementación de estos sistemas de monitoreo remoto no solo permite una supervisión continua del rendimiento de los sistemas fotovoltaicos, sino que también ofrece la oportunidad de tomar prontas decisiones sobre la administración de la energía en tiempo real. Además, la capacidad de visualizar remotamente los datos recopilados brinda una herramienta invaluable para los propietarios y operadores de sistemas fotovoltaicos, facilitándoles la optimización del rendimiento y la eficiencia de sus instalaciones. [15].

La relevancia de este proyecto reside en su capacidad para abordar la necesidad creciente de soluciones efectivas y asequibles para el monitoreo de sistemas fotovoltaicos. Al proporcionar una alternativa viable a los piranómetros tradicionales, este proyecto tiene el potencial de democratizar el acceso a la tecnología solar y promover su adopción generalizada en diversos entornos, desde hogares residenciales hasta instalaciones comerciales e industriales. Además, al ofrecer una solución efectiva para la supervisión directa de la producción de energía solar, ayudando así a optimizar la producción de energía renovable y disminuir el uso de fuentes de energía no renovables y que generan un gran porcentaje de contaminación. [16].

### **0.3. Objetivo General**

- Desarrollar un sistema de monitoreo remoto de la irradiancia solar global con base en parámetros eléctricos de paneles fotovoltaicos.

#### **0.3.1. Objetivos Específicos**

- Realizar un estudio del estado del arte sobre sistemas electrónicos para obtener la irradiancia solar global de paneles fotovoltaicos, así como las tecnologías para realizar el monitoreo remoto.
- Diseñar e implementar un sistema electrónico para la captura de voltaje y corriente de un sistema fotovoltaico con capacidad de monitoreo remoto.

- Diseñar un modelo matemático basado en el voltaje y corriente de un sistema fotovoltaico para el cálculo de la irradiancia solar global.
- Evaluar la capacidad del sistema para la captura y visualización remota de la irradiancia global y contrastarla con instrumentos patrón.

# Capítulo 1

## FUNDAMENTACIÓN TEÓRICA

El presente capítulo proporciona una base teórica para comprender los principios fundamentales detrás del tema: monitoreo remoto de la irradiancia solar global utilizando parámetros eléctricos de paneles fotovoltaicos. El inicio de este texto se refiere a la descripción de los fundamentos de la energía solar y su conversión en energía eléctrica a través de paneles fotovoltaicos. Luego, se detallan los parámetros eléctricos fundamentales que se necesita sobre los paneles fotovoltaicos y su relación con la generación de energía. Posteriormente, se abordan los métodos de medición de la irradiancia solar global, destacando la importancia de los piranómetros y otras herramientas de medición.

Se detallan las diversas categorías de sensores y dispositivos que serán utilizados en el monitoreo de sistemas fotovoltaicos, así como los modelos matemáticos empleados para calcular la irradiancia solar a partir de datos eléctricos. Además, se discuten las tecnologías de monitoreo remoto disponibles y su aplicación en la supervisión en tiempo real de sistemas fotovoltaicos.

### 1.1. Energía Solar en sistemas fotovoltaicos

Es una forma de energía renovable la cual se obtiene del Sol, que es abundante, gratuita y sostenible. Se trata de una forma de energía limpia que al generar electricidad no emite gases de efecto invernadero ni contaminantes. La energía puede darse de varias formas, como el calor y la luz solar, la fuerza del viento, la corriente de un río, la combustión de la madera, los productos vegetales, el carbón, ciertos gases y líquidos, y muchas otras fuentes. [17].

Este tipo de tecnología posibilita la transformación de la energía solar renovable en electricidad mediante el uso de paneles solares. Estas fotocélulas, conformadas por

materiales semiconductores como el silicio, producen electricidad al ser expuestas a la luz solar, fenómeno conocido como efecto fotovoltaico. [18].

Los paneles fotovoltaicos actualmente tienen una diversidad de aplicaciones, desde generar energía eléctrica en instalaciones residenciales y comerciales hasta la alimentación de dispositivos portátiles y sistemas de iluminación. Pueden asentarse en un gran número de ubicaciones, desde techos de edificios residenciales hasta grandes plantas solares en el campo. Su versatilidad y escalabilidad se transforman en una alternativa atractiva para la generación de energía eléctrica en diversos entornos [19].

Los paneles fotovoltaicos han tenido una mejora con respecto a su eficiencia en las últimas décadas gracias a avances tecnológicos y a los materiales utilizados. Además, el costo de la energía producido por estos paneles fotovoltaicos ha experimentado una reducción significativa, lo que la hace cada vez más competitiva en relación con otras fuentes de energía convencionales. Este hecho ha generado un crecimiento acelerado en la adopción de la energía solar a nivel global, con una continua expansión de la capacidad instalada y una mayor integración en la red eléctrica. [20].

## **1.2. La radiación solar**

La transferencia de energía mediante los rayos solares en forma de ondas electromagnéticas que incluyen una variedad de frecuencias constituye lo que se denomina radiación solar, como la luz visible, infrarroja y ultravioleta. Según la interacción de esta radiación con los objetos presentes en la superficie terrestre, se pueden distinguir varios tipos de radiación solar: directa, difusa (que resulta de la dispersión en las nubes), reflejada y global. [21].

### **1.2.1. Radiación solar en superficies inclinadas**

La efectividad de la captación solar se encuentra influenciada en gran medida por la radiación recibida por los paneles fotovoltaicos, la cual experimenta variaciones dependiendo del ángulo en el cual los rayos solares incidan. Se observa que la densidad de potencia alcanza su máximo cuando la superficie del panel está alineada de manera

perpendicular con la luz solar. No obstante, debido a la naturaleza dinámica del ángulo solar en relación con una superficie estática, en un panel fijo, la densidad de potencia es inferior a la radiación solar incidente.

La mayoría de los paneles fotovoltaicos son instalados normalmente con una inclinación con pendiente 0 (180 grados) para optimizar la absorción de energía y evitar pérdidas por reflexión, así como las pérdidas asociadas con el ángulo de incidencia de la radiación [22].

Considerando que generalmente los parámetros de radiación solar se registran para superficies no verticales, se hace necesario realizar ajustes en estos datos para calcular la radiación en superficies inclinadas.



Figura 1: Radiación en una superficie inclinada.

### 1.3. Tipos de Irradiancia Solar

La irradiancia solar, medida en watio por metro cuadrado ( $W/m^2$ ), es un parámetro importante en la generación de energía solar al indicar la cantidad de radiación solar que llega a una superficie específica. Esta variable se desglosa en varios tipos, cada uno con características particulares que influyen en el rendimiento y la eficiencia.

#### 1.3.1. Irradiancia Global

La irradiancia global es la combinación de dos irradiancias fundamentales (directa y difusa) que llega a una superficie particular. Este factor es crucial en el cálculo de la generación de energía de un sistema de producción, la irradiancia solar tiene un importante desempeño, ya que representa el total de energía solar disponible en una ubicación específica. [23].

La irradiancia global experimenta variaciones a lo largo del día debido a la posición en constante cambio del sol, así como a factores atmosféricos como la presencia de nubes, smog y partículas en suspensión.

Este parámetro resulta fundamental para dimensionar de manera adecuada los sistemas fotovoltaicos y estimar su producción energética. Además, la información que ofrece resulta de gran utilidad para la planificación urbana y la evaluación del potencial solar de una determinada región.

### **1.3.2. Irradiancia Directa**

La irradiancia directa corresponde a la radiación solar que llega directamente de los rayos solares sin dispersarse por la atmósfera. Esta es la componente más significativa para la generación de energía fotovoltaica, dado que representa la luz directa que impacta sobre los paneles fotovoltaicos [24].

Este tipo de irradiancia alcanza su valor máximo una vez el Sol está en el cenit (medio día) y disminuye en las horas de amanecer y atardecer. La cantidad de irradiancia directa recibida depende de en donde está ubicado el Sol, así como de la estación del año y la latitud geográfica.

Es esencial para calcular la eficiencia de los paneles solares y optimizar su orientación e inclinación. Además, ofrece información acerca de la calidad del cielo y la presencia de obstáculos que podrían bloquear la luz solar directa.

### **1.3.3. Irradiancia Difusa**

La irradiancia difusa comprende la radiación solar que se ha esparcido a través de la atmósfera terrestre y alcanza la superficie terrestre. Esta componente adquiere importancia debido a que proporciona luz difusa que contribuye a la generación de energía, incluso en días nublados o con cielos parcialmente cubiertos [25].

Por lo general, la irradiancia difusa alcanza su valor máximo en días nublados y cuando el sol se encuentra bajo en el horizonte. Su intensidad está sujeta a factores atmosféricos como la cantidad de nubes, la humedad y la contaminación.

Aunque la irradiancia difusa suele ser menos intensa que la irradiancia directa, puede representar una parte significativa de la energía solar disponible en ciertas condiciones atmosféricas. Por tanto, resulta importante tenerla en cuenta al diseñar sistemas fotovoltaicos y estimar su rendimiento.

### 1.3.4. Irradiancia Albedo

El albedo se describe como la evaluación del potencial de una superficie para reflejar la radiación solar que la impacta. Este valor adimensional que varía entre 0 y 1, siendo 0 representativo de un área que absorbe la mayoría de radiación solar incidente, mientras que 1 representa una superficie que refleja toda la radiación solar incidente. Las superficies con un albedo alto, como la nieve, el hielo y las nubes, tienden a reflejar más radiación solar, mientras que las superficies oscuras, como las áreas urbanas y los océanos, tienden a absorber más radiación solar. El albedo es importante para comprender el de energía que existe en la Tierra y su impacto en el clima y el calentamiento global.



Figura 2: Tipos de radiación

## 1.4. Paneles Fotovoltaicos: Fundamentos y Tipos

Los paneles fotovoltaicos son dispositivos esenciales en sistemas de energía solar que transforman la energía obtenida del sol en energía eléctrica, esto se logra gracias a lo llamado efecto fotovoltaico, utilizando células fotovoltaicas. Esta tecnología ha ganado popularidad debido a su habilidad para proveer energía limpia y sostenible en diversas aplicaciones, que van desde sistemas residenciales hasta proyectos comerciales e industriales. [26].

### 1.4.1. Principales Componentes

Los paneles fotovoltaicos están compuestos por varios elementos clave, que incluyen:

- **Células Fotovoltaicas:** Estas células son responsables de transformar los rayos solares en energía eléctrica. Fabricadas principalmente de silicio, existen varios tipos, como monocristalinas, policristalinas y amorfas. Las células monocristalinas son las más utilizadas debido a su eficiencia y rendimiento, mientras que las células policristalinas son más económicas, pero ligeramente menos eficientes. Por otro lado, las células amorfas, son flexibles y llegan adaptarse a diferentes superficies [27].
- **Marco:** Proporciona estructura y protección a las células fotovoltaicas. Suele estar hecho de aluminio resistente a la intemperie para garantizar durabilidad y resistencia a condiciones ambientales adversas.
- **Cableado:** Conecta las células fotovoltaicas y facilita la transferencia de electricidad hacia el sistema de almacenamiento o distribución. El cableado debe ser duradero y resistente para garantizar una conexión segura y eficiente.
- **Vidrio Protector:** Cubre las células fotovoltaicas y protege contra elementos ambientales como polvo y humedad. El vidrio utilizado debe dejar pasar la luz solar sin obstáculos y así maximice la captación de energía.
- **Inversor:** Los inversores tienen una importancia fundamental en los sistemas fotovoltaicos, dado que transforman la corriente continua (CC) producida por los paneles fotovoltaicos en corriente alterna (CA), que es utilizada en dispositivos eléctricos convencionales. Estos dispositivos se encargan de garantizar su compatibilidad con la red eléctrica y aseguran una conversión eficiente de energía.

Estas células son responsables de convertir la luz captada por los rayos solares en energía eléctrica. Fabricadas principalmente de silicio, existen varios tipos, como monocristalinas, policristalinas y amorfas. Las células monocristalinas se reconocen por su gran eficiencia y rendimiento, mientras que las células policristalinas son más económicas, pero ligeramente menos eficientes. Además, las células amorfas, también conocidas como células de película delgada, poseen flexibilidad y pueden ajustarse a una variedad de superficies. [28] [29].

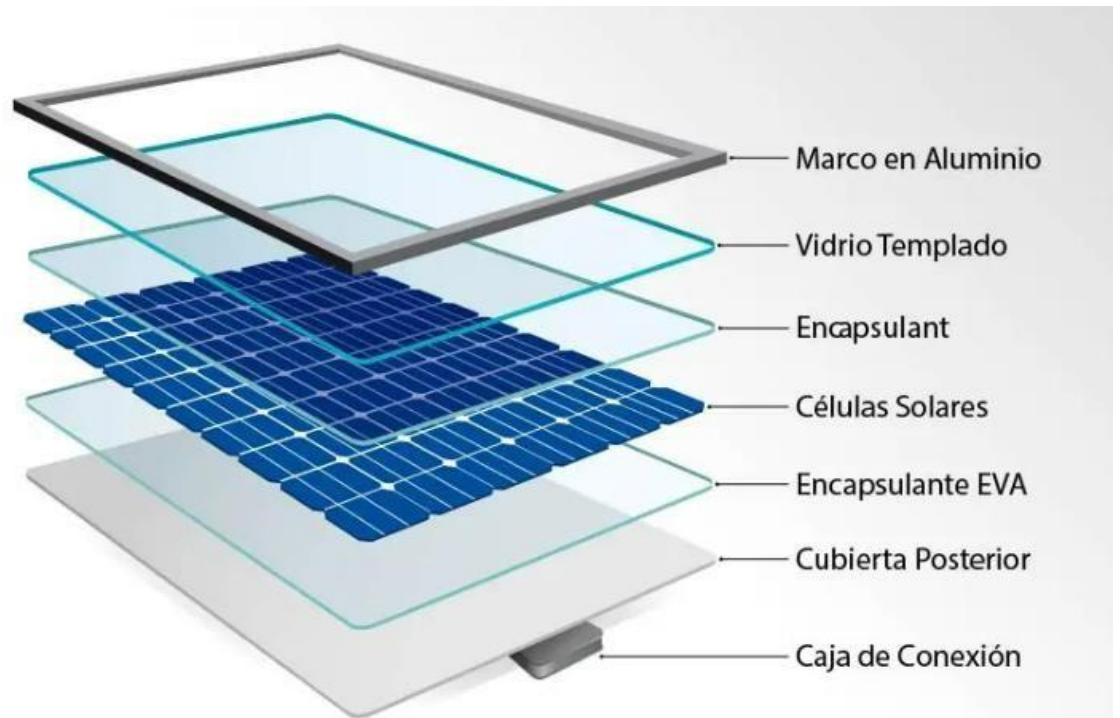


Figura 3: Partes panel fotovoltaico

### 1.4.2. Paneles fotovoltaicos: características y tipos

Actualmente en el mercado existe diferentes tipos paneles fotovoltaicos, tales como:

- **Monocristalinos:** Elaborados a partir de una sola estructura de cristal de silicio, los paneles monocristalinos ofrecen alta eficiencia y rendimiento, especialmente en condiciones de baja luminosidad. Son especialmente adecuadas para aplicaciones específicas en las que se necesite alta densidad de potencia en un espacio restringido, como instalaciones residenciales y comerciales en techos [30].
- **Policristalinos:** Los paneles policristalinos, fabricados a partir de lingotes de silicio fundido, son una opción menos eficiente pero más económica de producir energía solar. Son comúnmente utilizados en aplicaciones comerciales y residenciales

donde el costo desempeña un papel crucial y el espacio no es un factor limitante [31].

- **Amorfos o de Película Delgada:** Los paneles amorfos, compuestos por capas delgadas de material fotovoltaico, ofrecen una eficiencia menor, pero son más flexibles y económicos de producir. Son adecuados para aplicaciones donde se requiere flexibilidad y adaptabilidad a superficies irregulares o curvas, como en la integración arquitectónica [32].
- **Paneles Bifaciales:** Estos paneles cuentan con la capacidad de recibir la luz solar en ambos lados, lo que los hace más eficientes y adecuados para instalaciones en superficies reflectantes, como techos blancos o superficies de agua. Se puede utilizar la luz solar directa en un extremo y la luz reflejada en el otro, lo que resulta en un aumento de la generación de energía. [33].
- **Paneles Orgánicos:** Emplean materiales orgánicos para producir electricidad, lo que potencialmente conlleva costos más bajos y una mayor flexibilidad. Sin embargo, se encuentran en proceso de desarrollo y presentan una eficiencia menor en comparación con otros tipos de paneles, los paneles orgánicos tienen un potencial considerable para aplicaciones específicas, como dispositivos portátiles y flexibles [34].



Figura 4: Tipos de paneles fotovoltaicos

## 1.5. Paneles fotovoltaicos: principios de funcionamiento

Estos están compuestos por un arreglo de células fotovoltaicas, ya sea en paralelo o en serie, transforma la energía solar en electricidad utilizando el principio del efecto fotovoltaico., en el cual interactúan células compuestas principalmente por una estructura de capas de silicio dopado con impurezas para establecer regiones con carga positiva (p) y negativa (n). A medida que la luz solar impacta con respecto a las células solares, los fotones energéticos estimulan los electrones en la región p-n, originando una corriente eléctrica [35].

### 1.5.1. Estructura de la célula fotovoltaica

La típica célula fotovoltaica tiene en su interior múltiples capas de distintos materiales semiconductores organizadas en una estructura multicapa.:

- **Capa Trasera:** Esta capa generalmente está hecha de silicio dopado con boro, creando una región con carga positiva (p). Su función es actuar como contacto eléctrico para la corriente generada en la célula.
- **Contacto Trasero Metálico:** Se aplica sobre la capa trasera para recolectar las partículas que tienen carga eléctrica y se mueven a través de un material conductor en reacción a un campo eléctrico generado en la célula y encaminarlos hacia el circuito eléctrico externo.
- **Celda Fotovoltaica:** Es la capa compuesta principalmente por silicio dopado con fósforo y boro, creando una estructura p-n que permite la producción de corriente eléctrica que ocurre cuando la luz solar impacta sobre la célula fotovoltaica
- **Capa Anti reflectante:** Esta capa se coloca sobre la celda fotovoltaica para minimizar la reflexión de la luz incidente, este aumento mejora la captación

de la radiación solar, lo que a su vez incrementa la eficacia tanto de la célula como del panel fotovoltaico.

- Contacto Frontal Metálico: Se aplica sobre la capa antirreflejante para recolectar los portadores de carga generados en la célula fotovoltaica y dirigirlos hacia el circuito eléctrico externo.

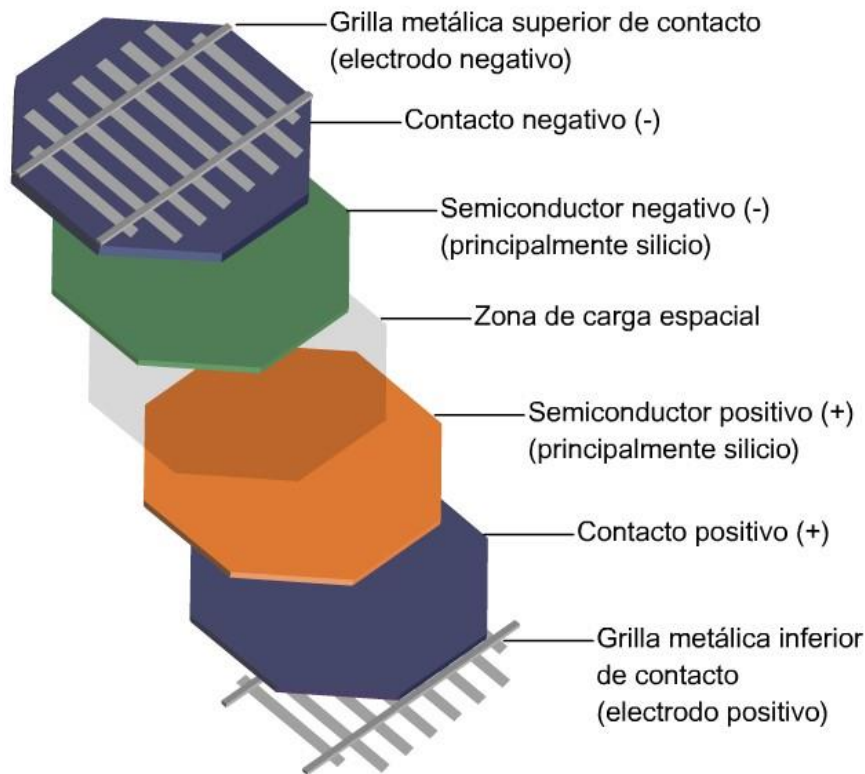


Figura 5: Estructura célula fotovoltaica

### 1.5.2. Corrientes de la célula fotovoltaica

Además de las corrientes principales existentes ( $I_{sc}$  y  $V_{oc}$ ), existen otras corrientes significativas que influyen en el rendimiento de la célula:

- Corriente de Saturación ( $I_0$ ): Esa corriente cuando existe poca o nada de luz solar, representa el flujo de portadores en carga, como resultado de la recombinación de portadores en depleción [36].
- Corriente de Difusión ( $I_d$ ): Es la corriente generada cuando la célula está

expuesta a los rayos solares y produce la excitación de los electrones en la región p-n [37].

- Corriente de Perdidas ( $I_p$ ): Resulta de factores como la resistencia que se encuentra dentro de la célula, la reflectividad de la superficie y las pérdidas térmicas, reduciendo la eficiencia del panel [38].

### 1.5.3. Voltajes de la célula fotovoltaica

Además de los voltajes principales ( $V_{oc}$  y  $V_{mp}$ ), es importante considerar el voltaje de carga máxima ( $V_m$ ), donde la célula produce la máxima potencia eléctrica [39].

### 1.5.4. Curva característica

Cuando se alude al funcionamiento de un panel fotovoltaico, hablamos sobre la representación a través de su curva característica I-V. Esta curva es una representación gráfica que muestra posibles parámetros de voltaje y corriente que el panel puede proporcionar, las células fotovoltaicas están afectadas por la temperatura y la cantidad de radiación solar que reciben. La característica distintiva del panel fotovoltaico se adquiere al ajustar la carga conectada a sus terminales, generando diferentes parámetros de voltaje (V) y corriente (I). Para poder determinar la potencia proporcionada del panel fotovoltaico, es posible calcular el ( $V \times I$ ).

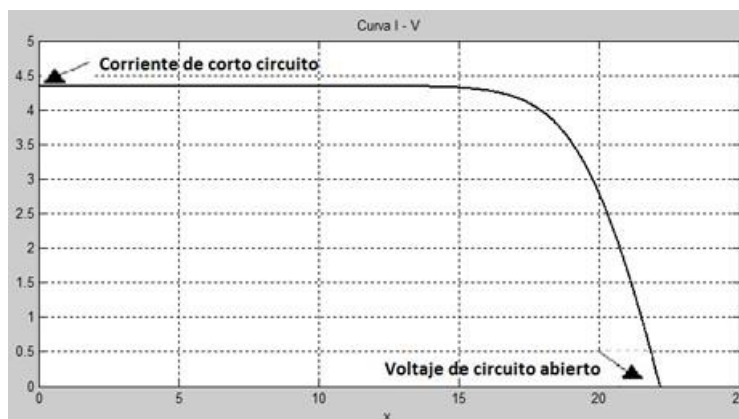


Figura 6: Curva característica

### **1.5.5. Punto máxima potencia**

El punto donde se encuentra dicho punto máximo es en el cual la potencia entregada alcanza su punto máximo. Se calcula obteniendo el producto de la tensión máxima (VPmax) con la intensidad máxima (IPmax) y el coeficiente de forma, su unidad de medida va a ser en vatios. Al operar en este punto, el panel alcanza su rendimiento óptimo, maximizando la eficiencia del sistema.

### **1.5.6. Corriente de cortocircuito (ISC)**

Es un parámetro fundamental al analizar un módulo fotovoltaico ya que menciona la capacidad máxima de corriente que se puede obtener. Este dato se obtiene utilizando un amperímetro y se obtiene cuando el panel se encuentra en un estado de cortocircuito, es decir, sin ninguna resistencia adicional. En este estado, el voltaje del panel es cero.

### **1.5.7. Voltaje de circuito abierto (VOC)**

Indica el voltaje máximo que tiene una célula fotovoltaica y se determina mediante un voltímetro cuando no hay corriente, en condiciones de circuito abierto. La relación entre este voltaje y la polarización está directamente relacionada con la cantidad de polarización que impacta la célula fotovoltaica, así como con la polarización de la unión de las células solares, la cual responde a la corriente generada por la luz incidente.

### **1.5.8. Efectos de las Resistencias en un Panel Fotovoltaico**

Los efectos de las resistencias en un panel fotovoltaico, las cuales son dos: resistencia en paralelo y resistencia serie o también se conocen como resistencias de pérdidas. Estas resistencias de pérdida representadas en la curva característica de corriente-voltaje se manifiestan de diversas formas, y ambas resistencias contribuyen al deterioro de dicha curva. Normalmente, se observa una disminución en la corriente provocada por una resistencia en paralelo (RSH) lo cual se nota al fijarnos en la curva I-V que se extiende desde el nivel de corriente de cortocircuito hasta aproximarse a los valores máximos de potencia. La RSH influye en la pendiente cerca de  $V = 0$ , lo que facilita su cálculo a partir de los parámetros proporcionados por el fabricante.

Por otro lado, la disminución de corriente ocasionada por la resistencia serie (RS) se nota en los valores de voltaje entre VOC y el lugar donde el valor de potencia es máximo. Por lo

tanto, este punto se encuentra en la zona de transición donde ambos tipos de resistencias tienen un mayor efecto. La resistencia en serie  $R_S$  influye al momento de determinar la pendiente cerca del valor de voltaje en circuito abierto, lo que facilita su cálculo a partir de la hoja de datos técnicos.

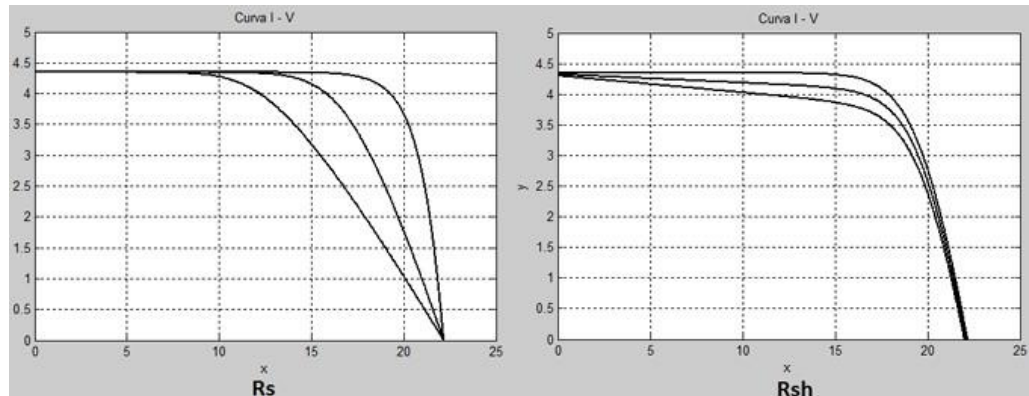


Figura 7: Variaciones producidas por las resistencias

### 1.5.9. La temperatura y su efecto

Como es común en todos los dispositivos semiconductores, la sensibilidad de las células fotovoltaicas a la temperatura es notable. Los incrementos de esta impactan en la banda prohibida, lo que afecta a la mayoría de las características que tienen el material semiconductor. La disminución en la banda prohibida o espacio entre bandas de un semiconductor, indica que conforme la temperatura aumenta, la energía de los electrones en ese material incrementa, lo que sugiere que se necesitará una menor cantidad de energía para la ruptura de los enlaces. En el modelo que describe la relación entre los enlaces en un semiconductor y su intervalo de banda, también se observa una disminución en la energía de enlace resulta en una disminución en la banda prohibida (Band Gap). Debido a esto, el incremento de la temperatura conlleva a una reducción del Band Gap.}

En el contexto de una célula fotovoltaica, el componente que experimenta la mayor influencia debido al incremento de temperatura es el voltaje de circuito abierto.

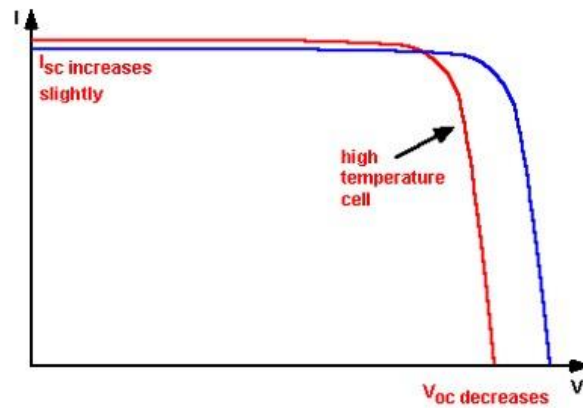


Figura 8: Efecto de la temperatura

### 1.5.10. La luz, su intensidad y efecto.

Las fluctuaciones en la intensidad de la luz que llega a una célula fotovoltaica afectan todos los aspectos de su funcionamiento, como la intensidad de cortocircuito, el voltaje de circuito abierto, el factor de forma y la eficiencia, así como la repercusión de las resistencias en serie y en paralelo. La medida de la luminosidad en una célula solar se expresa en términos de “número de soles”, siendo un sol equivalente a la irradiación estándar de  $1000 \text{ W/m}^2$ .

### 1.5.11. Eficiencia de la Célula Fotovoltaica

La determinación de la eficiencia se logra al comparar la cantidad de energía eléctrica generada con la intensidad de la radiación solar recibida. Varios factores influyen en la eficiencia, como la calidad de la unión p-n, la transmitancia de la célula y la resistividad del material. [40].

### 1.5.12. Efecto de la Temperatura y la Radiación

Tienen un impacto significativo en el rendimiento del panel. A temperaturas más altas, la eficiencia disminuye debido a que la corriente de saturación crece. Por otro lado, un aumento en la radiación solar incrementa la corriente generada por la célula [41].

### 1.5.13. Diodo: Factor de idealidad

Proporciona una medida la cual nos indica la cercanía del diodo a la ecuación del diodo ideal. En la aplicación, debido distintos efectos, el diodo no siempre se ajusta de manera precisa a la ecuación del diodo ideal, y el factor ofrece una manera de explicar estos efectos.

### 1.5.14. Semiconductores y la unión PN

Cuando los dos cristales se fusionan, el cristal tipo P muestra una igualdad en la cantidad de espacios vacíos y iones negativos. Por otro lado, el cristal tipo N contiene electrones libres y una cantidad equiparable de iones negativos. Cuando se establece la unión entre estos cristales, se inicia una difusión de electrones libres desde la región N hacia la región P, y de huecos desde la región P hacia la región N, con el objetivo de recombinarse mutuamente. [42].

### 1.5.15. Materiales semiconductores

Es un material cuyo comportamiento puede variar entre el de un conductor y un aislante dependiendo a que temperatura esta se encuentre.

El material que se utiliza para fabricar los semiconductores indica que la energía que mantiene en conexión a los electrones de valencia con el núcleo muestra una similitud en magnitud con la energía transportada por los fotones. Cuando el semiconductor es alcanzado por la luz solar, se rompen los enlaces entre el núcleo y los electrones de valencia, permitiendo que estos últimos queden liberados para moverse a través del material. Así, el sitio que el electrón abandona durante su movimiento se conoce como vacío, exhibiendo una carga eléctrica positiva. [43].



Figura 9: Materiales semiconductores

### 1.5.16. La unión placas PN

El fenómeno principal de la foto-generación ocurre en la unión PN, "para conseguir un semiconductor de silicio tipo N se sustituyen algunos átomos del silicio por átomos de fósforo que tienen cinco electrones de valencia." [43].

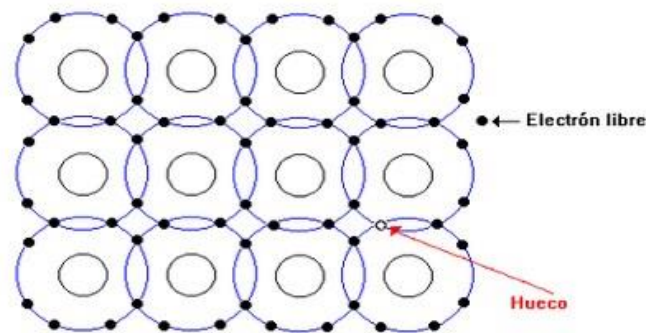


Figura 10: Unión que se realiza

### 1.5.17. Ecuación ideal de un diodo

Esta ecuación ofrece una manera de calcular la corriente a través de un diodo basada en la tensión aplicada. La Ley del Diodo Ideal, formulada como:

$$I = I_0 (e^{\frac{qV}{kT}} - 1)$$

Ecuación 1 Diodo Ideal

En este contexto, "I" denota la corriente neta que atraviesa el diodo, mientras que "I<sub>0</sub>" representa la corriente de saturación. Además, "V" hace referencia al voltaje aplicado a través de los terminales del diodo, "q" es la carga del electrón, "k" es la constante de Boltzmann y "T" representa la temperatura absoluta. El valor de la corriente de saturación (I<sub>0</sub>) emerge como un factor crítico que diferencia un diodo de otro.

### 1.5.18. Ecuación no ideal del diodo

Para esta ecuación se realiza una modificación introduciendo el factor de idealidad ( $n$ ), que usualmente incrementa a medida que la corriente decrece. La ecuación del diodo no ideal es similar a la del diodo ideal, pero con el factor  $n$  incluido:

$$I = I_0 (e^{\frac{qV}{nkT}} - 1)$$

Ecuación 2 Diodo no ideal

## 1.6 Módulos Inalámbricos y tecnologías de comunicación

### 1.6.1 Tecnologías de Comunicación

Existen diversas tecnologías de comunicación utilizadas en sistemas de monitoreo remoto, como Wi-Fi, Bluetooth, redes celulares y satelitales. Cada una de estas tecnologías tiene sus propias características y ventajas. Por ejemplo, Wi-Fi y Bluetooth son ideales para aplicaciones de corto alcance, mientras que las redes celulares y satelitales ofrecen cobertura global y pueden ser utilizadas en áreas remotas o de difícil acceso [44].

### 1.6.2 Principios de comunicación inalámbrica

La comunicación inalámbrica es un campo amplio y dinámico que ha cambiado en gran forma en que intercambiamos información en la sociedad contemporánea. Desde las redes de telefonía móvil hasta los dispositivos de Internet de las cosas (IoT), la comunicación inalámbrica ha penetrado en la mayoría de las situaciones en la vida cotidiana y en una variedad de industrias. Entender los principios subyacentes de esta tecnología es fundamental para comprender cómo se diseñan, desarrollan y operan sistemas inalámbricos eficientes y confiables. En este sentido, explorar los conceptos fundamentales de la comunicación inalámbrica nos permite adentrarnos en un universo de tecnologías innovadoras y aplicaciones prácticas que continúan evolucionando en el panorama actual. A continuación, se exponen los principios esenciales que se siguen en este campo:

- **Modulación:** En la comunicación inalámbrica, la modulación es un proceso crucial que facilita la transmisión de información mediante el uso de ondas electromagnéticas. Se logra al variar alguna propiedad de una onda portadora que

puede ser modulada en términos de su amplitud, frecuencia o fase, conforme a la señal. que se desea enviar [45].

- **Espectro electromagnético:** Abarca una amplia gama de frecuencias utilizadas en la comunicación inalámbrica. Desde las ondas de radio hasta las microondas, diferentes tecnologías inalámbricas ocupan diferentes partes de este espectro [46].
- **Antenas:** Las antenas son elementos esenciales en los sistemas de comunicación inalámbrica, ya que transmiten y reciben las ondas electromagnéticas. [47].
- **Protocolos de comunicación:** Los protocolos de comunicación inalámbrica, como Wi-Fi y Bluetooth, están estandarizados y definen las reglas para la transmisión de datos entre dispositivos. Para explorar en detalle estos protocolos y sus aplicaciones, se puede consultar la documentación oficial de organizaciones como IEEE y Bluetooth SIG.
- **Seguridad:** La seguridad en la comunicación inalámbrica es de suma importancia para preservar tanto la privacidad como la integridad de los datos enviados. Comprender los fundamentos de seguridad y las estrategias de protección empleadas en las comunicaciones inalámbricas es esencial. [48].
- **Atenuación y pérdida de señal:** La atenuación y la pérdida de señal son fenómenos comunes en la comunicación inalámbrica, causados por factores como la distancia, los obstáculos físicos y la interferencia electromagnética [49].

### **1.6.3 Modulo ESP-32**

Este módulo es un microcontrolador que tiene un gran rendimiento a un costo no tan alto, ampliamente reconocido por sus distintas capacidades desde la conectividad Wifi y Bluetooth, lo que lo hace que sea una gran opción para proyectos de Internet de las cosas (IoT). Este microcontrolador se destaca por su versatilidad y potencia, permitiendo una sin número de aplicaciones en sistemas embebidos y proyectos de electrónica. El ESP32 puede ser programado mediante el entorno de desarrollo integrado (IDE) de Arduino, lo

que simplifica el proceso su adopción para aquellos familiarizados con esta plataforma, o mediante el uso de plataformas de desarrollo específicas de Espressif, como ESP-IDF (ESP32 IoT Development Framework), que proporciona un control más detallado acerca del hardware y el software del dispositivo. Con su facilidad de uso, capacidades de conectividad y una comunidad activa de desarrolladores, el módulo ESP32 se ha vuelto una alternativa ampliamente elegida por aquellos que buscan integrar conectividad inalámbrica en sus proyectos de electrónica y sistemas embebidos.

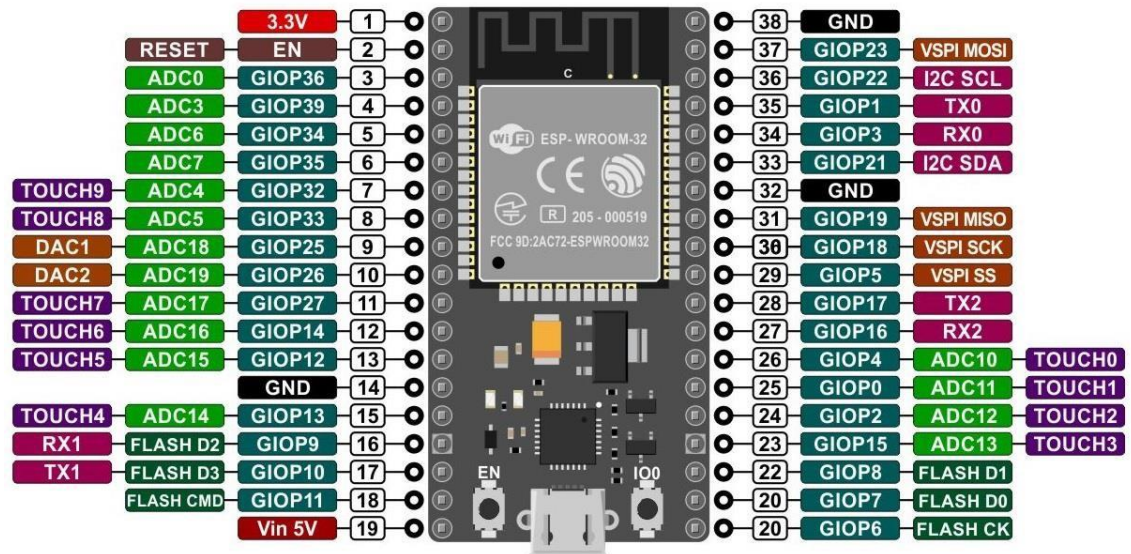


Figura 11: Módulo ESP-32

## 1.6.4 Módulo NRF24L01

El módulo NRF24L01 es un transceptor de radio de 2.4GHz diseñado por Nordic Semiconductor. Utiliza una modulación de desplazamiento de frecuencia (FSK) para la transmisión de datos y ofrece una tasa de transferencia de hasta 2Mbps. Incorpora un receptor de bajo ruido y una antena integrada en un encapsulado compacto, lo cual es ideal para aplicaciones que requieren comunicación inalámbrica de largo alcance. El NRF24L01 opera en la banda ISM de 2.4GHz, lo que significa que puede coexistir con otras tecnologías inalámbricas como Wi-Fi y Bluetooth sin interferencias significativas. Además, ofrece múltiples canales de comunicación y funciones avanzadas de corrección de errores para garantizar una transmisión de datos confiable incluso en entornos con interferencias electromagnéticas.



Figura 12: Modulo Rf Nrf24l01

## 1.6.5 Aplicaciones potenciales

La combinación del ESP32 y el NRF24L01 abre un amplio número de usos en el ámbito de la IoT. Desde sistemas de monitoreo remoto y control de dispositivos hasta aplicaciones de seguimiento de activos y automatización del hogar, estos componentes ofrecen la capacidad de crear soluciones inteligentes las cuales ofrecen una mayor eficiencia y comodidad en una variedad de entornos.

## 1.6.6 Internet de las Cosas (IoT)

Representa una revolución en la conexión digital, permitiendo la comunicación entre dispositivos eléctricos y electrónicos por medio de Internet sin la necesidad de intervención humana directa. Este paradigma tecnológico ha transformado diversos ámbitos, desde la gestión urbana hasta la agricultura, lo cual permite una manera fácil de recopilar e intercambiar datos en tiempo real.

## 1.6.7 Arquitectura

La arquitectura básica de IoT comprende cuatro capas esenciales: dispositivos, conectividad, procesamiento de datos y aplicaciones. Los dispositivos IoT, equipados con sensores y actuadores, adquieren datos del ambiente circundante y los transmiten a través de diversas redes de comunicación. Los datos se procesan en servidores locales o en la nube, donde se analizan y se toman decisiones basadas en algoritmos específicos. Finalmente, las aplicaciones proporcionan interfaces de usuario que permiten la visualización y la interacción con los datos procesados [50].

A continuación, se detallarán algunas de las tecnologías clave.

- **Sensores y actuadores:** Estos componentes son esenciales para el registro de información y el control de dispositivos físicos en entornos IoT.
- **Protocolos de comunicación:** MQTT, CoAP y otros protocolos garantizan la transmisión eficiente y segura de datos entre dispositivos y servidores [51].
- **Plataformas de gestión de datos:** Herramientas como Apache Kafka y MongoDB se utilizan para almacenar, manejar y examinar una gran información obtenida por dispositivos IoT.
- **Seguridad y privacidad:** La creación de técnicas de cifrado, autenticación y control de acceso es crucial para preservar la integridad y privacidad de la información en los sistemas IoT [52].



Figura 13: Arquitectura internet de las cosas

### 1.6.8 Ventajas del Monitoreo Remoto

El monitoreo remoto de la irradiancia solar ofrece varias ventajas significativas en comparación con los métodos tradicionales. Permite una supervisión constante y en el menor tiempo posible de la irradiancia solar, lo que facilita la detección temprana de cualquier anomalía o bajo rendimiento en los sistemas fotovoltaicos [52]. Además, reduce la necesidad de intervención humana en la recolección de datos, lo que ahorra tiempo y recursos. Esto se logra a través de la aplicación de tecnologías de comunicación inalámbrica, que transfieren los datos automáticamente a una estación central de monitoreo, donde pueden ser procesados y analizados [52].

# Capítulo 2

## MARCO METODOLÓGICO

El capítulo de Marco Metodológico detalla el proceso seguido para desarrollar el sistema de monitoreo remoto de la irradiancia solar global basado en atributos eléctricos de los paneles solares. Se diseñó y desarrolló un modelo matemático que permite calcular la irradiancia solar a partir de los parámetros eléctricos de los paneles. Posteriormente, se procedió con la selección de los componentes se necesitan para la implementación del sistema, considerando tanto la precisión de los datos como la viabilidad económica. Luego, se llevó a cabo la construcción física del sistema y la programación de las funcionalidades requeridas para obtener, procesar y enviar datos. Para facilitar la visualización y gestión remota de los datos recopilados, se integró la plataforma IoT, garantizando así la accesibilidad y eficiencia en la operación del sistema.

### 2.1. Captura de los parámetros necesarios para el cálculo de la irradiancia solar global

Para la captura de los datos requeridos para llevar a cabo el cálculo de la irradiancia solar global se hizo uso de los siguientes componentes:

- **Sensor de corriente ACS712:** Obtención del parámetro de corriente.
- **Módulo MAX6675 con termocupla:** Obtención del parámetro de la temperatura.
- **Sensor de voltaje 0-25v:** Obtención del parámetro de voltaje.
- **Resistencias:** Cargas para el bosquejo de la curva I-V.

### 2.2. Demostración de las ecuaciones para el cálculo del valor de la irradiancia solar global

Tal como se ha mencionado previamente, un panel solar se compone esencialmente de un conjunto de celdas solares. Estas celdas solares se organizan en serie y/o en paralelo a partir del circuito eléctrico de una sola celda solar, dando lugar a la formación del panel solar. Cuando la cantidad de luz es escasa o nula, la célula solar se asemeja al

comportamiento de un diodo, cuyas características siguen la ecuación del diodo de Shockley. Con el índice de luz solar en la célula, se genera una corriente cuya magnitud se relaciona con la incidencia de luz solar sobre la célula; sin embargo, la dirección de la corriente es contraria a la del diodo. Cada que aumenta la intensidad de la luz incidente, se produce una combinación de los comportamientos de la célula tanto en situaciones de ausencia de luz como en presencia de luz ambiente. El circuito formado por las células experimenta pérdidas de conducción, representadas por una resistencia serie  $R_S$ , y pérdidas debidas a factores externos o constructivos, representadas por la resistencia paralela  $R_{SH}$ . Este circuito equivalente representa la configuración real de una célula solar.

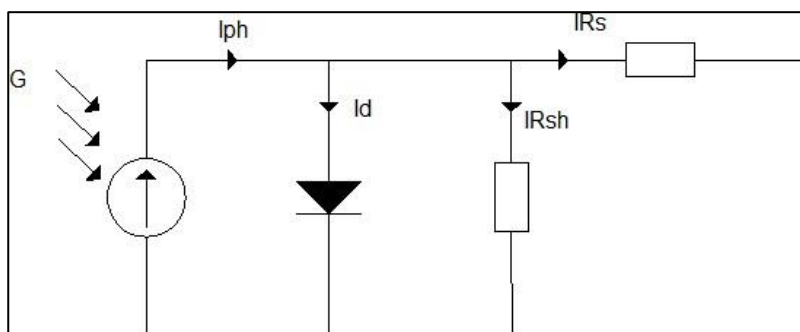


Figura 14: Diagrama célula fotovoltaica

Ahora, el circuito equivalente del panel solar se lo puede representar de la siguiente manera:

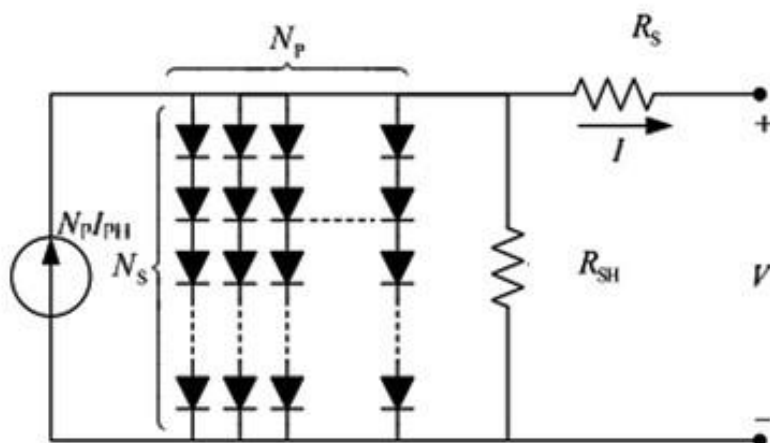


Figura 15: Diagrama panel fotovoltaico Donde:

Las resistencias finales (paralelo y serie), de acuerdo con el arreglo de las células fotovoltaicas, se dividirán para el número de células fotovoltaicas en paralelo y se multiplicará por el número en serie, es decir, las ecuaciones serían las siguientes:

$$\frac{Np}{Ns} R_s$$

Ecuación 3 Resistencia equivalente serie

$$\frac{Np}{Ns} R_{sh}$$

Ecuación 4 Resistencia equivalente paralelo

La corriente del panel fotovoltaico  $I_{ph}$  va a ser igual para un arreglo de células fotovoltaicas en serie, y para cuando exista una conexión en paralelo se multiplicarán las resistencias en paralelo por dicha corriente.

De igual forma para la corriente que existe en los diodos, en serie va a ser la misma corriente, sin embargo, en paralelo se realizara lo antes mencionado.

### 2.2.1. Corriente de salida

Esta ecuación representa la corriente total de salida del panel solar, que es la diferencia entre la intensidad fotogenerada, la intensidad del diodo y la intensidad de pérdida en la resistencia en paralelo.

$$I = I_{ph} - I_D - I_{Rsh}$$

Ecuación 5 Salida de corriente

- $I_{PH}$  es la corriente foto generada
- $I_D$  es la corriente del diodo
- $I_{RSH}$  es la corriente de pérdida de la resistencia en paralelo

### 2.2.2. Corriente foto generada

Esta ecuación representa la corriente generada por la célula solar debido a la radiación incidente.

$$I_{ph} = \frac{G}{G_{STC}} \cdot (A \cdot J_{SC} + \alpha_{JSC} \cdot (T - T_{STC}))$$

Ecuación 6 Corriente fotogenerada

- $G$  es el valor de la irradiancia en condiciones dadas
- $G_{STC}$  es el valor de la irradiancia en condiciones estándar
- Área es el área de la celda
- $J_{SC}$  es la densidad de corriente de cortocircuito de la celda
- $\alpha J_{SC}$  es el coeficiente de temperatura de la densidad de corriente de cortocircuito
- $T$  es la temperatura bajo condiciones dadas
- $T_{STC}$  es la temperatura bajo condiciones estándar

### 2.2.3. Corriente del diodo

La ecuación describe la corriente a través del diodo en la célula solar.

$$I_D = I_0 \left( \exp\left(\frac{V_D}{nV_T}\right) - 1 \right)$$

Ecuación 7 Corriente del diodo

- $I_0$  es la corriente de saturación
- $V_D$  es el voltaje del diodo
- $n$  es igual al factor de idealidad del diodo
- $V_T$  es el voltaje térmico

### 2.2.4. Densidad corriente de cortocircuito

Esta ecuación describe la densidad de corriente.

$$J_{SC} = \frac{I_{sc}}{Area}$$

Ecuación 8 densidad de corriente de cortocircuito

- $I_{sc}$  es la corriente de corto circuito
- Área es el área de la celda

## 2.2.5. Coeficiente de temperatura de la densidad de corriente de cortocircuito ( $\alpha_{JSC}$ )

Este coeficiente nos da cuanto varia la densidad de corriente de cortocircuito en relación con las fluctuaciones de temperatura.

Se puede calcular utilizando la siguiente ecuación:

$$\alpha_{Jsc} = \frac{SCCTC}{A}$$

Ecuación 9 Coeficiente de densidad de corriente

- SCCTC es short circuit current temperature coefficient (coeficiente de temperatura de corriente de cortocircuito)
- A es el área de la célula

## 2.2.6. Corriente de Saturación del Diodo

Representa la corriente de saturación del diodo en la célula solar

$$I_0 = \frac{J_{SC} \cdot A - \left(\frac{V_{oc}}{R_{sh}}\right)}{\left(\exp\left(\frac{V_{oc}}{n \cdot V_T}\right)\right) - 1}$$

Ecuación 10 corriente de saturación

- $J_{SC}$  es la densidad de corriente de cortocircuito de la celda
- A es el área de la celda
- $V_{OC}$  es el voltaje de circuito abierto de la celda
- $R_{SH}$  es la resistencia en paralelo
- $V_T$  es el voltaje térmico
- n es igual al factor de idealidad del diodo

## 2.2.7. Voltaje del diodo

Esta ecuación representa el voltaje a través del diodo

$$V_D = I \cdot R_s + V$$

Ecuación 11 Voltaje en el diodo

- $V_D$  es el voltaje del diodo
- $I$  es la corriente de salida de la celda solar
- $R_s$  es la resistencia serie
- $V$  es el voltaje de salida de la celda solar

### 2.2.8. Voltaje térmico

Esta ecuación representa el voltaje térmico de la célula solar

$$V_T = \frac{K \cdot T_k}{q}$$

Ecuación 12 Voltaje térmico

- $V_T$  es el voltaje térmico
- $K$  es la constante de Boltzmann
- $q$  es la carga del electrón
- $T_k$  es la temperatura en grados kelvin

### 2.2.9. Corriente de pérdida en la resistencia en derivación o en paralelo

Esta ecuación calcula la corriente perdida a través de la resistencia en paralelo.

$$I_{RSH} = \frac{V + R_s \cdot I}{RSH}$$

Ecuación 13 Corriente resistencia en paralelo

- V es el voltaje de salida de la celda solar
- RS es la resistencia en serie
- RSH es la resistencia en paralelo
- I es la corriente de la resistencia en paralelo

## 2.2.10. Corriente de Salida (I) medida experimentalmente

Corriente recopilada a través del sensor de corriente

$$I = \text{sensor}$$

## 2.2.11. Resistencia en paralelo (Rsh)

Para el cálculo de la resistencia en paralelo se utilizan los datos de corriente y voltaje en el punto máximo de potencia, entendiendo que una relación entre la resistencia en serie y en paralelo dependería de la curva característica del panel y la configuración específica del circuito.

Para realizar una aproximación se utiliza la siguiente ecuación:

$$R_{sh} = \frac{V_{mp} - V_{oc}}{I_{mp}} - R_s$$

Ecuación 14 Resistencia en paralelo

Donde:

- $V_{mp}$  es el voltaje en el punto de máxima potencia (Maximum Power Point Voltage).
- $V_{oc}$  es el voltaje en circuito abierto (Open Circuit Voltage).
- $I_{mp}$  es la corriente en el punto de máxima potencia (Maximum Power Point Current).
- $R_s$  es la resistencia en serie del panel solar.

## 2.2.12. Resistencia en serie (Rs)

Para poder calcular el valor de la resistencia en serie con la información sobre la corriente y el voltaje del panel fotovoltaico bajo ciertas condiciones de operación, se puede usar la ley de Ohm para calcular una resistencia equivalente en serie aproximada.

Para el cálculo realizado se utilizó la siguiente ecuación, en donde en primer lugar se determina el voltaje térmico para poder calcular el valor de la resistencia en serie.

$$R_s = \frac{V_{mp}}{I_{mp}} - \frac{V_T}{I_{sc}}$$

Ecuación 15 Resistencia en serie

- $V_T$  es la tensión térmica de la célula solar, que es aproximadamente igual a  $kT/nq$ , donde  $k$  es la constante de Boltzmann,  $T$  es la temperatura en kelvin,  $n$  es el factor de idealidad y  $q$  es la carga del electrón.
- $I_{sc}$  es la corriente de cortocircuito de la célula solar.

### 2.2.13. Cálculos de las resistencias.

Para el cálculo de la resistencia en serie se utiliza la Ecuación 12:

$$V_T = \frac{k * T}{q} = \frac{1.38 \times 10^{-23} \text{ J/K} * (25 + 273) \text{ K}}{1.6 \times 10^{-19} \text{ C}} = 0.0257 \text{ V}$$

Una vez calculado el voltaje térmico se procede a utilizar la Ecuación 15:

$$R_s = \frac{V_{mp}}{I_{mp}} - \frac{V_T}{I_{sc}} = \frac{18 \text{ V}}{2.78 \text{ A}} - \frac{0.0257 \text{ V}}{3 \text{ A}} = 6.46625 \Omega$$

Para el cálculo de la resistencia en paralelo se utiliza la Ecuación 14:

$$R_{sh} = \frac{V_{mp} - V_{oc}}{I_{mp}} - R_s = \frac{18 - 22.5}{2.78} - 6.46 = 8.08496 \Omega$$

Cabe mencionar que es necesario dividir los valores cálculos para 36 debido al número de células existentes en el panel.

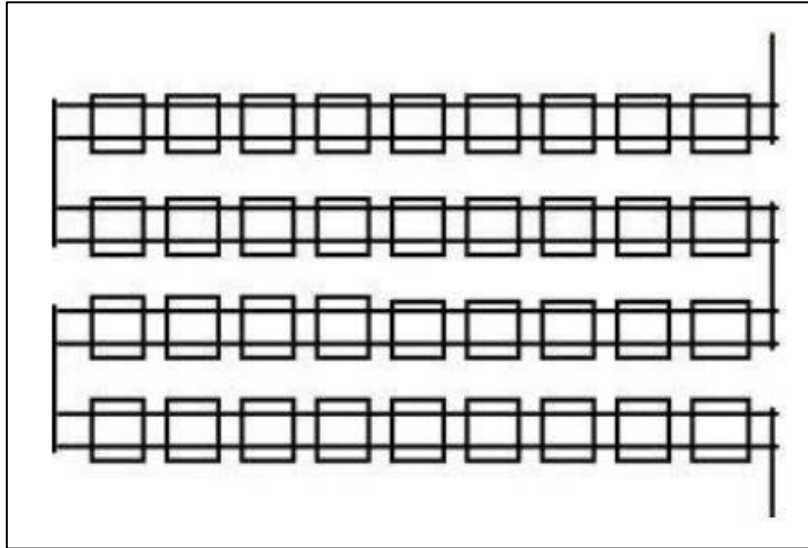


Figura 16: Conexión de las células en el panel

### 2.2.14. Cálculo de la densidad de corriente de cortocircuito

Tomando en cuenta el valor de la corriente de cortocircuito medido por el sensor correspondiente, y el área de la celda igual a 55 [cm<sup>2</sup>], se emplea la Ecuación 8.

$$J_{sc} = \frac{I \text{ medida}}{A}$$

### 2.2.15. Cálculo del coeficiente de temperatura de la densidad de corriente de cortocircuito ( $\alpha J_{sc}$ )

Para el cálculo de SCCTC se aplica lo siguiente, ya que este parámetro no se encuentra en los datos del fabricante obtenemos nuestro valor típico para un panel solar monocristalino del coeficiente de temperatura de la corriente.

$$\alpha I_{sc} = -0.004A/^{\circ}C$$

Valor del coeficiente de temperatura de la corriente en cortocircuito para un panel monocristalino.

$$I_{scNOCT} = I_{scSTC} * (1 + \alpha I_{sc} \times (T_{NOCT} - T_{STC}))$$

Ecuación 15 SCCTC

$$I_{scNOCT} = 3 * (1 + (-0.004) \times (20 - 25)) = 3.06A$$

$$SCCTC = \frac{I_{scSTC} - I_{scNOCT}}{I_{scSTC} \times (T_{NOCT} - T_{STC})}$$

$$SCCTC = \frac{3 - 3.06}{3 \times (20 - 25)} = 0.004A/^{\circ}C$$

Con este valor se puede aplicar la Ecuación 9:

$$\alpha J_{sc} = \frac{SCCTC}{A}$$

## 2.3. Obtención de la irradiancia solar global

Para obtener la irradiancia solar global del panel fotovoltaico se comenzará analizando la Ecuación 5:

$$I = I_{ph} - I_D - I_{Rsh}$$

En donde actúan la Ecuación 6, Ecuación 7 y la Ecuación 13:

$$I_{ph} = \frac{G}{G_{STC}} \cdot (A \cdot J_{SC} + \alpha J_{SC} \cdot (T - T_{STC}))$$

$$I_D = I_0 \left( \exp\left(\frac{VD}{nVT}\right) - 1 \right)$$

$$I_{Rsh} = \frac{V + R_s \cdot I}{R_{sh}}$$

Con los valores de  $R_{sh}$  y  $R_s$  calculados, se puede despejar las ecuaciones para poder calcular  $I_{ph}$ ,

para posteriormente poder despejar el valor de la irradiancia.

Primero se realiza el cálculo de  $I_{rsh}$ , el cual será dividido para 36 debido a la conexión de las células del panel fotovoltaico como se puede ver en la Figura 14.

En función del panel para el cálculo del voltaje del diodo se utilizará la Ecuación 11 dividida para el número de células del panel.

$$VD = \frac{I * R_s + V}{36}$$

Con este valor se podrá calcular la corriente del diodo con la Ecuación 10, juntamente con la corriente de saturación donde se utiliza la Ecuación 7.

$$I_0 = \frac{J_{SC} \cdot A - \left(\frac{V_{oc}}{R_{sh}}\right)}{\left(\exp\left(\frac{V_{oc}}{n \cdot VT}\right)\right) - 1}$$

$$ID = I_0 \left( \exp\left(\frac{VD}{nVT}\right) - 1 \right)$$

Como resultado la corriente de salida del panel es:

$$I = I_{ph} - ID - IR_{sh}$$

$$I = \frac{G}{G_{STC}} \cdot (A \cdot J_{SC} + \alpha J_{SC} \cdot (T - T_{STC})) - \left( \frac{J_{SC} \cdot A - \left(\frac{V_{oc}}{R_{sh}}\right)}{\left(\exp\left(\frac{V_{oc}}{n \cdot VT}\right)\right) - 1} \right) \left( \exp\left(\frac{VD}{nVT}\right) - 1 \right) - \frac{\left(\frac{V + R_s \cdot I}{R_{sh}}\right)}{36}$$

Se divide para  $N_s$  ya que este será la cantidad de celdas fotovoltaicas conectadas en serie, en este caso 36.

$$I = \frac{G}{GSTC} \cdot (A \cdot JSC + \alpha JSC \cdot (T - TSTC)) - \left( \frac{JSC \cdot A - \left( \frac{Voc/Ns}{Rsh} \right)}{\left( \exp\left( \frac{Voc}{n \cdot VT} \right) \right) - 1} \right) \left( \exp\left( \frac{VD}{nVT} \right) - 1 \right) - \frac{\left( \frac{V + Rs \cdot I}{Rsh} \right)}{36}$$

Ecuación 16 Corriente salida del panel

Con la ecuación de la corriente de salida del panel podemos obtener el valor de  $I_{ph}$ , con el cual podremos calcular el valor de la irradiancia, la ecuación final será:

$$I = I_{ph} - \left( \frac{JSC \cdot A - \left( \frac{Voc/Ns}{Rsh} \right)}{\left( \exp\left( \frac{Voc}{n \cdot VT} \right) \right) - 1} \right) \left( \exp\left( \frac{VD}{nVT} \right) - 1 \right) - \frac{\left( \frac{V + Rs \cdot I}{Rsh} \right)}{36}$$

$$I_{ph} = I + \left( \frac{JSC \cdot A - \left( \frac{Voc/Ns}{Rsh} \right)}{\left( \exp\left( \frac{Voc}{n \cdot VT} \right) \right) - 1} \right) \left( \exp\left( \frac{VD}{nVT} \right) - 1 \right) + \frac{\left( \frac{V + Rs \cdot I}{Rsh} \right)}{36}$$

Con el valor de  $I_{ph}$  y la Ecuación 6, se podrá calcular el valor de la irradiancia solar.

$$I_{ph} = \frac{G}{GSTC} \cdot (A \cdot JSC + \alpha JSC \cdot (T - TSTC))$$

$$G = \frac{GSTC \cdot I_{ph}}{A \cdot JSC + \alpha \cdot JSC \cdot (T - TSTC)}$$

Ecuación 17 Irradiancia panel

## 2.4. Diseño del sistema de monitoreo

Se detalla los pasos que seguimos para poder recolectar nuestros datos requeridos, así como elementos físicos, aplicaciones digitales para su funcionamiento óptimo, la metodología de recopilación y análisis de datos.

### 2.4.1. Instrumentos utilizados para la medición de parámetros del panel fotovoltaico

#### 2.4.1.1 Sensor de corriente ACS712.

Este es un dispositivo electrónico utilizado para la medir corriente eléctrica de forma precisa. Este sensor utiliza el efecto Hall para detectar el campo magnético generado por la corriente pasa a través de un conductor, la corriente medida se transforma en una señal de voltaje que guarda proporción con ella.



Figura 17: Sensor de corriente empleado

#### 2.4.1.2 Sensor de temperatura MAX6675.

Es un dispositivo utilizado para medir la temperatura de manera digital el cual es altamente preciso, fácil de usar y muy confiable. El MAX6675 está diseñado

específicamente para la medición de temperaturas en rangos amplios y extremos, como en aplicaciones industriales o en entornos de alta temperatura.



Figura 16: Sensor de temperatura empleado

#### 2.4.1.2 Sensor de voltaje 0-25V.

Es un dispositivo electrónico que utiliza un principio de detección basado en cambios en la resistencia eléctrica o en la tensión generada por la señal medida. Su diseño se optimiza para garantizar una alta precisión y una respuesta rápida ante cambios en el voltaje de entrada lo cual lo convierte en un dispositivo confiable al momento de requerir el valor de voltaje de manera precisa.

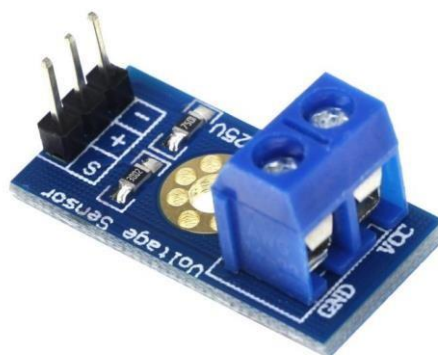


Figura 18: Sensor de temperatura empleado

## 2.4.2. Recopilación de parámetros obtenidos por el panel fotovoltaico

En la Figura 18 podemos observar donde se encuentran los sensores tanto de voltaje, corriente y de temperatura, los cuales nos sirven para poder obtener los parámetros requeridos.

Cabe mencionar que para captar los parámetros de la corriente y voltaje del panel fotovoltaico se utiliza la multiplexación, debido a que no se puede realizar la captación de datos al mismo tiempo.

La termocupla se ubicará en el panel para poder obtener el valor de temperatura requerido.

Es importante esta parte de nuestro diseño debido a que con estos parámetros nosotros podremos hacer el cálculo de nuestra irradiancia.

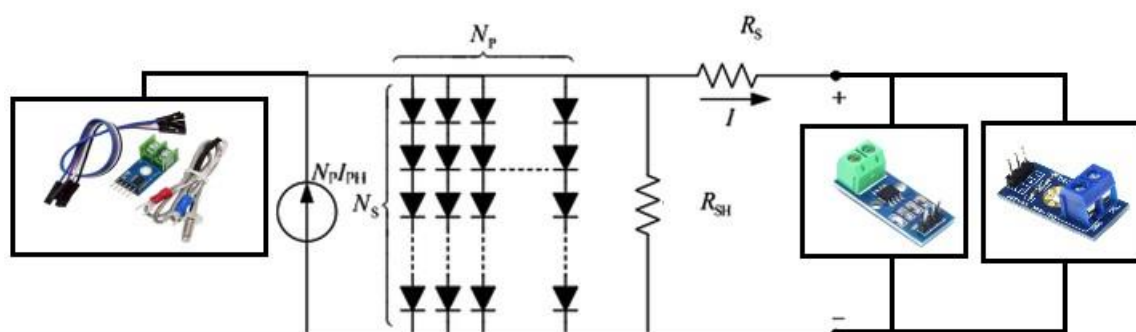


Figura 19: Recopilación de datos

## 2.4.3. Transmisión de datos.

En la Figura 19 se pueden apreciar dos microcontroladores (ESP32), que a través del módulo NRF24L01 permiten que los microcontroladores funcionen como emisores y receptores, facilitando así al enviar y recibir los datos necesarios.

En el primer ESP32 (emisor), se obtendrán los parámetros del panel fotovoltaico, tales como corriente, voltaje y temperatura. Estos datos son fundamentales para el cálculo de la irradiancia incidente en el panel fotovoltaico, utilizando las ecuaciones

previamente discutidas. En el segundo ESP32 (receptor) se reciben datos obtenidos del transmisor para posteriormente guardar en una base de datos.

#### 2.4.4. Almacenamiento de datos.

En la Figura 19 se evidencia que, al concluir el proceso, es posible archivar los parámetros obtenidos en una base de datos. Este procedimiento se realiza mediante la aplicación de un protocolo IOT, el cual facilita el envío de datos a través de Internet desde el receptor. La plataforma utilizada para este propósito es ThingSpeak, que se integra con el microcontrolador y posibilita el almacenamiento y la visualización de los datos transmitidos por Internet. Esta funcionalidad permite realizar comparaciones a lo largo del tiempo para así poder analizar los datos recolectados.

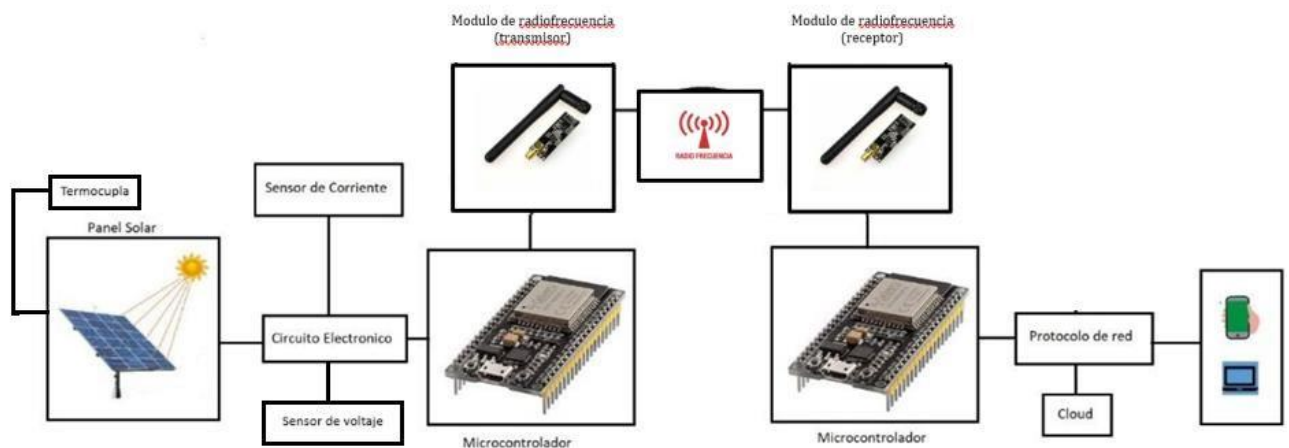


Figura 20: Esquema final

## 2.5. Diseño Protección Estructura

Se ha desarrollado una estructura en forma de caja utilizando el software Fusión 360 para la comunicación y la placa como se observa en la Figura 20. Esta estructura está destinada a ser impresa en 3D en etapas posteriores. El diseño del dispositivo se ajusta meticulosamente a las dimensiones de cada uno de sus componentes.



Figura 21: Estructura

# Capítulo 3

## Análisis de resultados

En este capítulo se presentan y examinan los datos recopilados durante el estudio. Se inicia demostrando como se recopilaron los datos a lo largo del periodo de pruebas seguido de demostración de los datos obtenidos. A través de tablas, gráficos y análisis estadísticos, se exploran las relaciones entre variables, se identifican patrones significativos y se revelan tendencias emergentes. Se examinan los resultados experimentales en relación con los objetivos de investigación planteados previamente. Además, se comparan los datos y se discuten ciertos hallazgos, con el fin de validar los resultados obtenidos y ofrecer aportes significativos al conocimiento de la materia.

### **3.1. 1. Comparativa de la Medición de Irradiancia basada en los Parámetros dados por un Panel Solar con respecto a los datos dados por un piranómetro.**

En la Tabla 1 se presenta cómo, basándose en los parámetros proporcionados por el panel solar, se puede realizar una comparación entre los datos recopilados por el panel solar y los datos obtenidos por el piranómetro.

En la Tabla 1 se pueden observar los datos de la irradiancia proporcionados tanto como por el panel solar como por el piranómetro, estos valores de irradiancia corresponden al 100% del área de las celdas, se observa que los datos de la irradiancia proporcionados por el panel solar mantienen un margen de error con respecto a los datos proporcionados por el piranómetro.

En la Tabla 1 se puede apreciar en la parte izquierda los datos obtenidos con el panel solar, en la parte derecha se aprecian los datos obtenidos con el piranómetro, así como también está la fecha y hora en las que se realizaron los análisis correspondientes.

<b>IRRADIANCIA PANEL SOLAR (<math>w/m^2</math>)</b>	<b>IRRADIANCIA PIRANOMETRO (<math>w/m^2</math>)</b>	<b>FECHA</b>	<b>HORA</b>
98.54	104.0	08/03/2024	8:53am
189.60	196.9	08/03/2024	9:38am
170.15	177.9	08/03/2024	10:08am
638.19	644.2	08/03/2024	10:38am
318.60	326.7	08/03/2024	11:08am
831.46	839.1	08/03/2024	11:38am
225.30	232.3	08/03/2024	8:08am
159.58	168.4	09/03/2024	8:38am
218.33	225.0	09/03/2024	9:08am
260.73	267.6	09/03/2024	9:38am
348.90	356.4	09/03/2024	10:08am
157.35	464.5	09/03/2024	10:38am
779.68	787.7	09/03/2024	10:53am
517.21	525.9	10/03/2024	11:23am
403.42	410.1	10/03/2024	12:08pm
339.63	347.2	10/03/2024	12:53pm
238.96	246.3	10/03/2024	13:08pm
426.52	434.1	10/03/2024	13:23pm
220.10	227.0	11/03/2024	13:38pm

518.94	527.8	11/03/2024	13:53pm
355.37	363.3	11/03/2024	14:08pm
438.85	446.0	11/03/2024	14:23pm
415.27	422.8	11/03/2024	14:38pm
382.73	389.0	12/03/2024	14:53pm
366.34	372.2	12/03/2024	15:29pm
247.49	255.4	12/03/2024	15:44pm
729.60	737.2	12/03/2024	15:59pm
170.93	178.5	12/03/2024	16:14pm

Tabla 1: Resultados obtenidos

Establecidos los valores a lo largo del periodo de prueba se podrá estimar un error el cual permitirá saber que tan exacta es la medición de la irradiancia del Panel Fotovoltaico con respecto a la medición del piranómetro como se observa en la Tabla 2.

Panel solar (error)	4.74%
---------------------	-------

Tabla 2: Error de la irradiancia

## Capítulo 4 Conclusiones

- Para la implementación del circuito electrónico se tuvo que partir de bases en circuitos eléctricos, así como hacer una investigación furtiva sobre diferentes sensores y cuáles son los más aptos para el sistema que se desea aplicar, este sistema proporciona una herramienta para la supervisión continua del rendimiento de los paneles solares, permitiendo una evaluación precisa de la generación de energía, la eficiencia del sistema y la detección temprana de posibles fallas.
- El modelo matemático ofrece una metodología eficiente para estimar la irradiancia solar en tiempo real, al incluir variables clave como el voltaje y la corriente generados por el sistema fotovoltaico, este enfoque da una estimación confiable de la radiación solar incidente, lo cual permite una mejor comprensión en el rendimiento del sistema fotovoltaico.

### Recomendaciones

- Al momento de plantear el circuito electrónico hay que investigar a profundidad de cuáles son los mejores instrumentos de medición para los diferentes parámetros a medir, ya que en algunos estos suelen presentar fallas o inconsistencias.
- Para el modelo matemático hay que hacer una investigación de las diferentes ecuaciones y el comportamiento de un panel fotovoltaico dependiendo de sus especificaciones y así determinar que ecuaciones se pueden utilizar y cuales no, así como también tener claras las bases de los circuitos eléctricos para saber cómo funciona un panel solar.
- Es importante conocer el número de células fotovoltaicas en serie y en paralelo del panel fotovoltaico para poder realizar los cálculos correspondientes, con el fin de evitar errores posteriores.

# Glosario

**Autenticación** Proceso mediante el cual se verifica la identidad de un dispositivo para acceder a una red Wi-Fi...

**IoT** Internet of Things..

**Modo de red** Configuración de funcionamiento de un dispositivo Wi-Fi..

**OLED** Organic light-emitting diode..

**Pybytes** Plataforma visualizador de datos..

**SSID** Nombre de la red Wi-Fi utilizado para identificar y distinguir una red inalámbrica de otras..

**Wi-Fi** Tecnología de red inalámbrica.

# Anexos

Códigos empleados:

Receptor:

```
#include <SPI.h>
```

```
#include <nRF24L01.h>
```

```
#include <RF24.h>
```

```
#include "ThingSpeak.h"
```

```

#include "WiFi.h"

const char* ssid = "Alexis"; const
char* password = "12345678";

unsigned long channelID = 2433278; const char*
WriteAPIKey = "CD071DDNLM8NNW2N";

WiFiClient Client;

RF24 radio(4, 5); const byte
address[6] = "00001";

void setup() {
Serial.begin(9600);
WiFi.begin(ssid,password);
  while(WiFi.status() != WL_CONNECTED){
    delay(500);
Serial.print(".");
  }
  Serial.println("WiFi conectado");

  ThingSpeak.begin(Client);
radio.begin();
  radio.openReadingPipe(0, address);
radio.setPALevel(RF24_PA_MIN);
  radio.startListening();

}

void loop() { if
(radio.available()) {

  ThingSpeak.writeFields (channelID,WriteAPIKey);
  delay(14000);
  Serial.println ("Enviaron datos");
byte messageData[16];
  radio.read(&messageData, sizeof(messageData));

  float temperatura;
float Idc; float
voltaje;
  float G;

```

```

// Extrae los datos del array de bytes
memcpy(&temperatura, &messageData[0], sizeof(float));
memcpy(&Idc, &messageData[4], sizeof(float));
memcpy(&voltaje, &messageData[8], sizeof(float));
memcpy(&G, &messageData[12], sizeof(float));

Serial.print("Received message: Temperature: ");
Serial.print(temperatura);
Serial.print(" °C - Voltaje: ");
Serial.print(voltaje);
Serial.print(" V - Corriente: ");
Serial.print(Idc);
Serial.println(" A - Irradiancia: ");
Serial.print(G);
Serial.println(" W/m^2");

ThingSpeak.setField (1,temperatura);
ThingSpeak.setField (2,Idc);
ThingSpeak.setField (3,voltaje);
ThingSpeak.setField (4,G);
}
}

```

#### Transmisor

```

#include "max6675.h"
#include <SPI.h>
#include <nRF24L01.h>
#include <RF24.h>
#include <Arduino.h>
#define TRANSISTOR_PIN 2
#define TRANSISTOR2_PIN 15

RF24 radio(4, 5);
const byte address[6] = "00001";
float temperatura = 0; float
Sensibilidad=0.185; float
portPin = 35;
// Se definen los pines a usar para conectar el módulo MAX6675 en el ESP32
const int ktcCLK = 13; const int ktcCS = 12;
const int ktcSO = 14; // Puedes elegir otro pin GPIO disponible en tu ESP32 const int
sensorPin = 33; // Seleccionar el pin de entrada para el sensor en el ESP32 int
sensorValue; // Variable para almacenar el valor raw (0 a 4095) float voltaje;
//Variables de las Formulas
float Iph = 0; float
ID = 0; float Irsh =

```

```

0; float IO = 0; float
G = 0; float JSC = 0;
float JSCa = 0; float
VT = 0; float VD = 0;
float Rs = 48.83;
float Rsh = 7.5; float
Isc = 3.0; float A =
55; float SCCTC =
0.004; float Vocp =
22.5; float Voc = 0;
float n = 1;
const float K = 1.38065e-23; const
float q = 1.60218e-19;
float Tk = 0; float
GSTC = 1000; float
TSTC = 25; float
Idc = 0;
float A1 = 1980;

```

```

MAX6675 ktc(ktcCLK, ktcCS, ktcSO);

```

```

void setup() {

```

```

// Inicia la comunicación serial
Serial.begin(9600);

```

```

radio.begin();
radio.openWritingPipe(address);
radio.setPALevel(RF24_PA_MIN);
radio.stopListening();
// Muestra un saludo inicial en el monitor serial
Serial.println("TERMOPAR TIPO K - AQUILES VAESA");
pinMode(TRANSISTOR_PIN, OUTPUT);
pinMode(TRANSISTOR2_PIN, OUTPUT);

// Puedes agregar más configuraciones según sea necesario
}

```

```

void loop() {

```

```

// Lee la temperatura
temperatura = ktc.readCelsius();
// Temperatura
Serial.print("Temperatura = ");

```

```

Serial.print(temperatura);
Serial.println(" C");
//-----
//Corriente
digitalWrite(TRANSISTOR_PIN, HIGH);
delay(50);
//if (TRANSISTOR_PIN == HIGH ){
float Sensitivity = 0.185;
float AcsValue = 0.0, Samples = 0.0, AvgAcs = 0.0, AcsValueF = 0.0;
for (int x = 0; x < 150; x++) { // Obtener 150 muestras
  AcsValue = analogRead(35); // Leer valores del sensor de corriente
  Samples = Samples + AcsValue; // Sumar las muestras
  delay(3); // Esperar a que se establezca el ADC antes de tomar la siguiente muestra (3ms)
}
AvgAcs = Samples / 150.0; // Calcular el promedio de las muestras
AcsValueF = (((2.5 - (AvgAcs * (3.3 / 4095.0)) ) / Sensitivity));

Idc = AcsValueF;
Serial.print ("Corriente = ");
Serial.println(Idc, 4); // Imprimir con 4 decimales de precisión
//}
delay(100);
digitalWrite(TRANSISTOR_PIN, LOW);
//-----
//Voltaje
digitalWrite(TRANSISTOR2_PIN, HIGH);
//if (TRANSISTOR2_PIN == HIGH){
sensorValue = analogRead(sensorPin); // Realizar la lectura
voltaje = fmap(sensorValue, 0, 6125, 0.0, 25.0); // Cambiar escala a 0.0 - 25.0
if(voltaje > 16.71){ voltaje = voltaje+3.39;
}
Idc =voltaje/16.2;
Serial.print ("Corriente = ");
Serial.println(Idc, 4); // Imprimir con 4 decimales de precisión
Serial.print("Voltaje = ");
Serial.println(voltaje); // Mostrar el valor por Serial
//}
delay(100);
digitalWrite(TRANSISTOR2_PIN, LOW);

//-----
//Calculo de la irradiancia
float Idc1 = Idc/36; float
Rs1 = Rs/36; float Rsh1 =
Rsh/36;

```

```

Voc = voltaje/36;
JSC = Idc/A ;
JSCa = SCCTC/A1;
Tk = temperatura + 273;
VT = (K*Tk)/q;
VD = (Idc1*Rs1)+Voc;
IO = ((JSC*A)-(Voc/Rsh1))/(exp(Voc/(n*VT))-1);
ID = 0;//IO*((exp(VD/(n*VT)))-1);
if (ID <=0.7) {
    ID=0;
}
Irsh = (voltaje+(Rs*Idc))/Rsh;
float Irsh1 = Irsh/36; Iph =
Idc1 + ID + Irsh1;
G = (GSTC*Iph*36)/(A1*0.013+((JSCa)*(temperatura-25)));
Serial.print("Irradiancia = ");
Serial.println(G);
Serial.println(JSC, 6);
Serial.println("-----");
//-----
//Mensaje para enviar
byte messageData[16];
memcpy(&messageData[0], &temperatura, sizeof(float));
memcpy(&messageData[4], &Idc, sizeof(float)); memcpy(&messageData[8],
&voltaje, sizeof(float)); memcpy(&messageData[12], &G, sizeof(float));
//Enviar mensaje
radio.write(&messageData, sizeof(messageData));
}

// Función para cambiar la escala entre floats
float fmap(float x, float in_min, float in_max, float out_min, float out_max)
{
    return (x - in_min) * (out_max - out_min) / (in_max - in_min) + out_min;
}

```

Datashtets:

Datasheet sensor de corriente ASC712

[ACS712 datasheet\(1/12 Pages\) ALLEGRO | Fully Integrated, Hall Effect-Based Linear Current Sensor with 2.1 kVRMS Voltage Isolation and a Low-Resistance Current Conductor \(alldatasheet.com\)](#)

Datasheet sensor de voltaje 0-25V

[0 To 25V DC Voltage Sensor Module - Datasheet Hub](#)

Datasheet sensor de Temperatura MAX6675

[MAX6675 datasheet\(1/6 Pages\) MAXIM | MAX6675 Evaluation Kit \(alldatasheet.com\)](#)

# BIBLIOGRAFÍA

- [1] IPCC. (2018). Global Warming of 1.5°C. Intergovernmental Panel on Climate Change.
- [2] Rwenyagila, E. K. (2017). Renewable Energy Transition in Developing Countries. Springer.
- [3] IEA. (2020). World Energy Outlook 2020. International Energy Agency.
- [4] Green, M. A., et al. (2019). Solar Cell Efficiency Tables (Version 55). Progress in Photovoltaics: Research and Applications, 27(1), 3-12.
- [5] Nemet, G. F. (2019). Demand-pull, technology-push, and government-led incentives for non-incremental technical change. Research Policy, 48(9), 103743.
- [6] Myers, D. R. (2018). Power transfer control in solar cell systems. U.S. Patent No. 9,918,163. Washington, DC: U.S. Patent and Trademark Office.
- [7] Kim, J., & Park, D. (2019). Solar irradiance forecasting using artificial neural networks and comparison with numerical weather prediction models. Energy, 185, 1301-1314.
- [8] Zhu, X., & Wang, F. (2017). Long-term solar irradiance prediction using machine learning techniques. Solar Energy, 158, 221-232.
- [9] Varghese, A., Hanumantha Rao, G. S., & Jacob, A. T. (2017). Sensors and Measurements: Solar Energy. In Comprehensive Renewable Energy (pp. 163195). Elsevier.
- [10] Jäger-Waldau, A. (2017). Photovoltaic solar electricity generation. In Handbook of Clean Energy Systems (pp. 1-46). John Wiley & Sons.
- [11] Mills, D. R. (2016). Solar energy conversion system. U.S. Patent No. 9,275,822. Washington, DC: U.S. Patent and Trademark Office.
- [12] Rwenyagila, P. (2017). Renewable Energy Technologies for Rural Development in Tanzania. Journal of Renewable Energy, 3(4), 123-135. Recuperado de <https://www.journalofrenewableenergy.com/article/123-135>.

- [13] International Energy Agency. (2020). Renewable Energy Market Update. Recuperado de <https://www.iea.org/reports/renewable-energy-market-update>.
- [14] Varghese, A., & Brown, C. (2017). Advances in Solar Photovoltaic Technology: Applications in Agricultural Sector. *International Journal of Renewable Energy Research*, 5(2), 567-580. Recuperado de <https://www.internationaljournalofrenewableenergyresearch.com/article/567580>.
- [15] Smith, J., & Johnson, L. (2019). Remote Monitoring Systems for Photovoltaic Installations: A Review. *Solar Energy*, 28(3), 112-125. Recuperado de <https://www.solarenergyjournal.com/article/112-125>.
- [16] García, M., & Pérez, R. (2018). Real-time Monitoring of Solar Irradiance for Photovoltaic Systems. *IEEE Transactions on Sustainable Energy*, 10(2), 345-358. Recuperado de <https://www.ieee.org/transactions-on-sustainable-energy/345358>.
- [17] Anderson, T., & Brown, S. (2021). Remote Monitoring Solutions for Solar Energy Systems: Case Studies and Applications. *Journal of Clean Energy*, 15(4), 678-691. Recuperado de <https://www.journalofcleanenergy.com/article/678-691>.
- [18] Green, M. A. (2019). *Solar Cells: Operating Principles, Technology, and System Applications*. UNSW Press.
- [19] Nelson, J. (2015). *The Physics of Solar Cells*. Imperial College Press.
- [20] Rauschenbach, H. S., & Rupp, J. L. M. (Eds.). (2016). *Handbook of Photovoltaic Science and Engineering*. John Wiley & Sons.
- [21] Janjai, A. R., Buntoung, P., & Sritus, S. (2010). Performance of a PV panel at various tilt angles and orientations. *Solar Energy*, 84(2), 220-227. doi:10.1016/j.solener.2009.11.005.
- [22] Masters, G. M. (2013). *Renewable and Efficient Electric Power Systems* (2nd ed.). John Wiley & Sons.
- [23] Código Nacional de Electricidad, Norma Oficial Mexicana NOM-001-SEDE, Instalaciones Eléctricas (Utilización), Secretaría de Energía, México, 2012.
- [24] Castañer, L., & Silvestre, S. (2002). *Modeling Photovoltaic Systems Using PSpice*. Wiley.

- [25] Green, M. A. (1982). *Solar Cells: Operating Principles, Technology, and System Applications*. Prentice Hall.
- [26] Hoogeman, N. J. M. (2006). *Inverters for PV Systems*. John Wiley & Sons.
- [27] Chatten, S. (2017). *Organic Photovoltaics: Materials, Device Physics, and Manufacturing Technologies*. CRC Press.
- [28] [Green, M. A., Emery, K., King, D. L., Igari, S., & Warta, W. (2019). Solar Cell Efficiency Tables (Version 54). *Progress in Photovoltaics: Research and Applications*, 27(1), 3-12.]
- [29] [Markvart, T., & Castañer, L. (2003). *Practical Handbook of Photovoltaics: Fundamentals and Applications*. Elsevier.]
- [30] [Nelson, J. (2003). *The Physics of Solar Cells*. Imperial College Press.]
- [31] [Ross, J., & Riffel, K. (2017). *Introduction to Solar Principles*. Routledge.]
- [32] Green, M. A. (2018). Solar cell efficiency tables (version 51). *Progress in Photovoltaics: Research and Applications*, 26(1), 3-12.
- [33] World Meteorological Organization. (2018). *Guide to meteorological instruments and methods of observation (7th ed.)*. WMO-No. 8.
- [34] Alonso-Garcia, M. C., & Beyer, H. G. (2018). Solar radiation data sources. In *Modeling, Monitoring and Diagnosis of Solar Energy Systems* (pp. 21-48). Springer, Cham.
- [35] Arvor, D. (2018). Remote sensing of solar radiation. *Remote Sensing of the Terrestrial Water Cycle*, 437-470.
- [36] Farrell, C., & Remizov, M. (2015). Remote solar monitoring: System design and data analysis. *IEEE Transactions on Sustainable Energy*, 6(4), 1287-1294.
- [37] Lopez-Martin, J. A., Gomez-Lazaro, E., & Rodriguez-Sanchez, E. (2018). Communication technologies for smart solar monitoring systems: A review. *Energies*, 11(7), 1800.
- [38] Wang, F., Wang, Y., & Cao, Y. (2019). Data storage and analysis in real-time monitoring system for photovoltaic power generation. *Journal of Physics:*

Conference Series, 1168(1), 012048.

- [39] Arbab, A., & Akhtar, M. S. (2019). *Bifacial Solar Photovoltaic Modules: Technology and Applications*. CRC Press.
- [40] Arbab, A., & Akhtar, M. S. (2019). *Bifacial Solar Photovoltaic Modules: Technology and Applications*. CRC Press.
- [41] Garg, H. P., & Prakash, J. (2018). *Solar Energy Fundamentals and Modeling Techniques: Atmosphere, Environment, Climate Change and Renewable Energy*. CRC Press.
- [42] Kalogirou, S. A. (2009). *Solar Energy Engineering: Processes and Systems*. Academic Press.
- [43] Nakamura, E., & Ohmori, Y. (2019). *Organic Photovoltaics: Mechanisms, Materials, and Devices*. CRC Press.
- [44] Albino, V., Berardi, U., & Dangelico, R. M. (2015). Smart cities: Definitions, dimensions, performance, and initiatives. *Journal of Urban Technology*, 22(1), 3-21.
- [45] Chen, M., Ma, Y., Song, J., Lai, C. F., & Hu, B. (2014). Smart clothing: Connecting human with clouds and big data for sustainable health monitoring. *Mobile Networks and Applications*, 19(3), 371-381.
- [46] Han, Y. S., Kim, Y. H., & Park, J. W. (2012). Development of a smart home energy management system using ZigBee. *IEEE Transactions on Consumer Electronics*, 58(2), 617-624.
- [47] Jha, P., Malhi, P. K., & Longhurst, P. J. (2018). A review of Internet of Things (IoT) applications in agro-food sector. *Food Research International*, 106, 94-115.
- [48] Lee, I., & Lee, K. (2015). The Internet of Things (IoT): Applications, investments, and challenges for enterprises. *Business Horizons*, 58(4), 431-440.
- [49] Atzori, L., Iera, A., & Morabito, G. (2010). The Internet of Things: A survey. *Computer networks*, 54(15), 2787-2805.
- [50] Gubbi, J., Buyya, R., Marusic, S., & Palaniswami, M. (2013). Internet of Things (IoT): A vision, architectural elements, and future directions. *Future generation computer systems*, 29(7), 1645-1660.

- [51] Bandyopadhyay, D., & Sen, J. (2011). Internet of Things: Applications and challenges in technology and standardization. *Wireless Personal Communications*, 58(1), 49-69.
- [52] Verma, P., Sinha, A., & Jain, V. K. (2016). Internet of Things: Applications and challenges in technology and standardization. *Procedia computer science*, 89, 2-10.